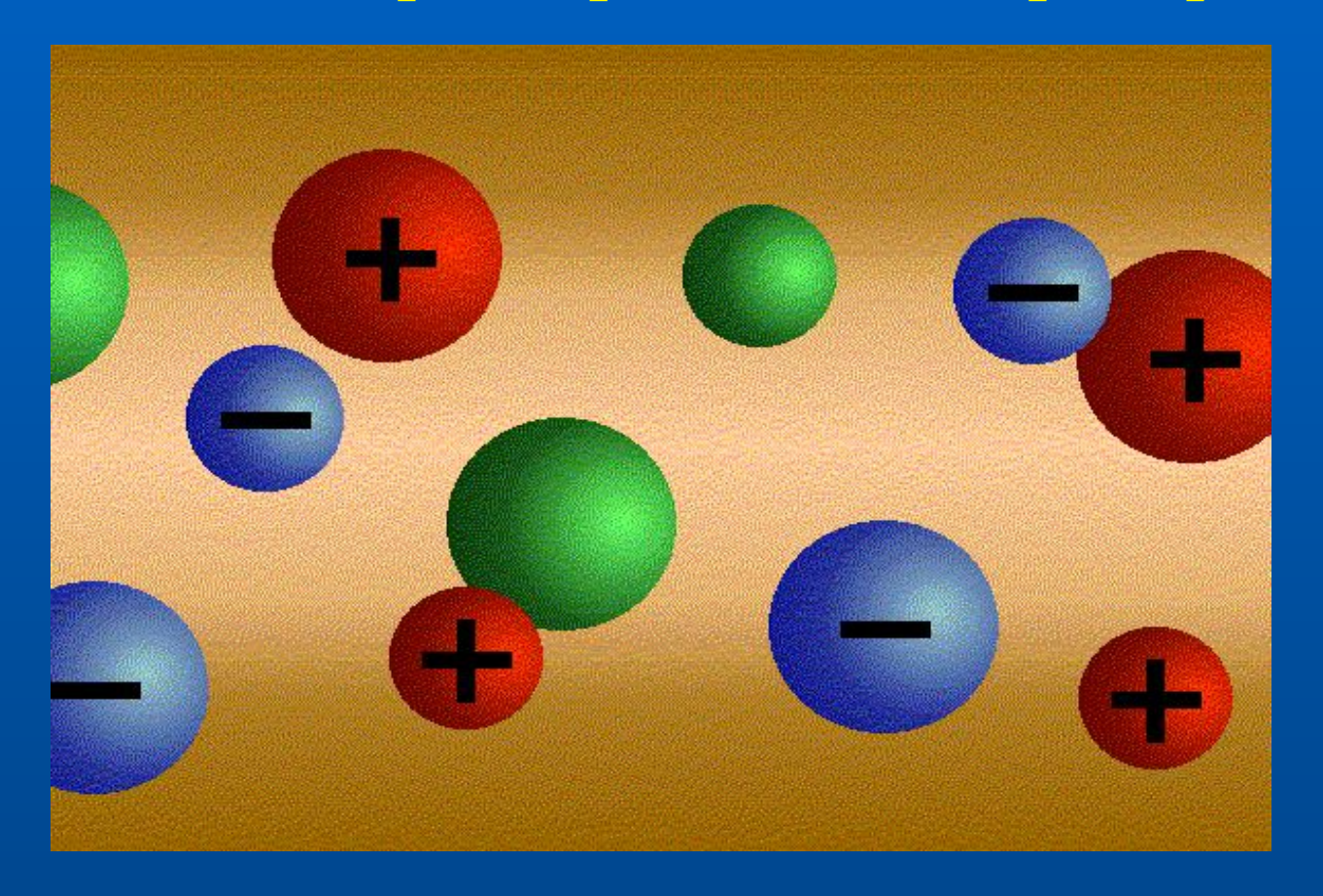
# Капиллярный электрофорез и электрохроматография



Аналитический Центр химического факультета МГУ Москва, Ленинские горы, ГСП-1. 939-35-14

## История и этапы развития метода

Электрофорез – движение заряженных частиц растворе под действием электрического поля

### История:

- Начало 19-го века открытие электрофореза
- 1937 Нобелевская премия (Тизелиус)
- 1981-1983 первые аналитические приборы капиллярного электрофореза (Джоргенсон, Лукас)
- 1990-2003 Расшифровка генома человека

## Электрофоретическая подвижность

$$\mu = \frac{q}{6\pi\eta r}$$

 $(cM^2 B^{-1} ceK^{-1})$ 

μ = электрофоретическая подвижность

q = заряд частицы

η = вязкость раствора

r = радиус частицы

### Схема прибора для капиллярного электрофореза



## Скорость миграции по капилляру

Скорость миграции: 
$$v = \mu_{ep} E = \mu_{ep} \frac{V}{L}$$

#### Где:

v = скорость миграции иона в электрическом поле (см сек  $^{-1}$ )

 $\mu_{ep}$  = электрофоретическая подвижность (см<sup>2</sup> B<sup>-1</sup> сек<sup>-1</sup>)

E = напряженность поля (В см  $^{-1}$ )

V = приложенное напряжение (B)

L = длина капилляра (см)

# Эффективность в электрофорезе не зависит от длины капилляра!

### Уравнение Ван-Деемтера:

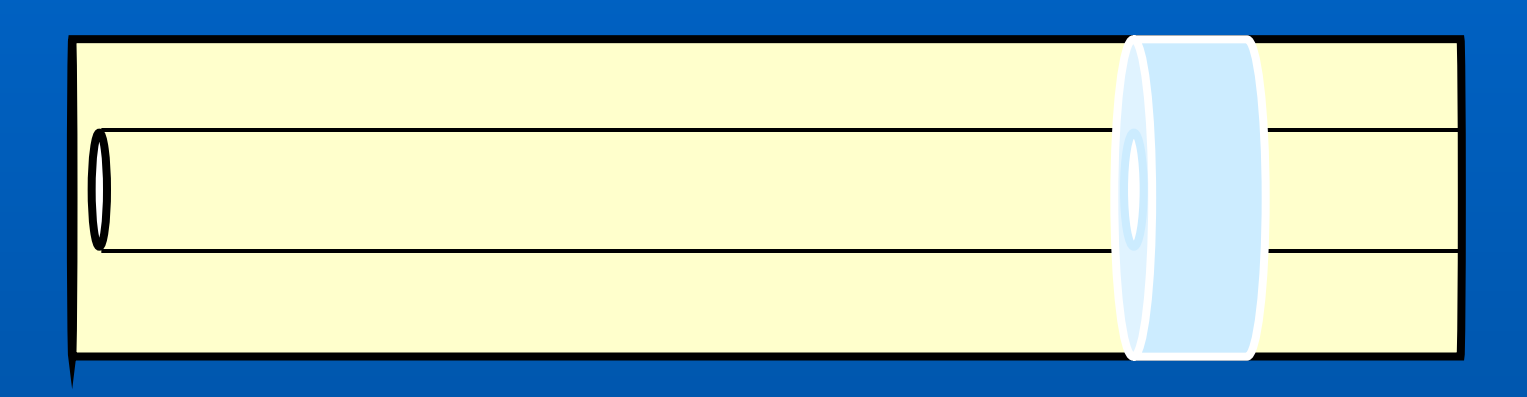
$$H = A + B / u + Cu$$

- A = 0 (капилляр узкий, нет турбулентности)
- C = 0 (нет неподвижной фазы)
- Остается только В

$$H = B/u$$

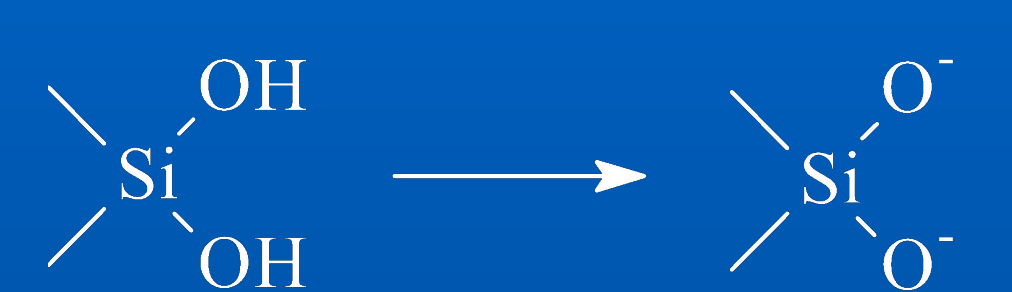
Следовательно,  $N = L/[2D/(\mu V/L)] = \mu V/2D$ 

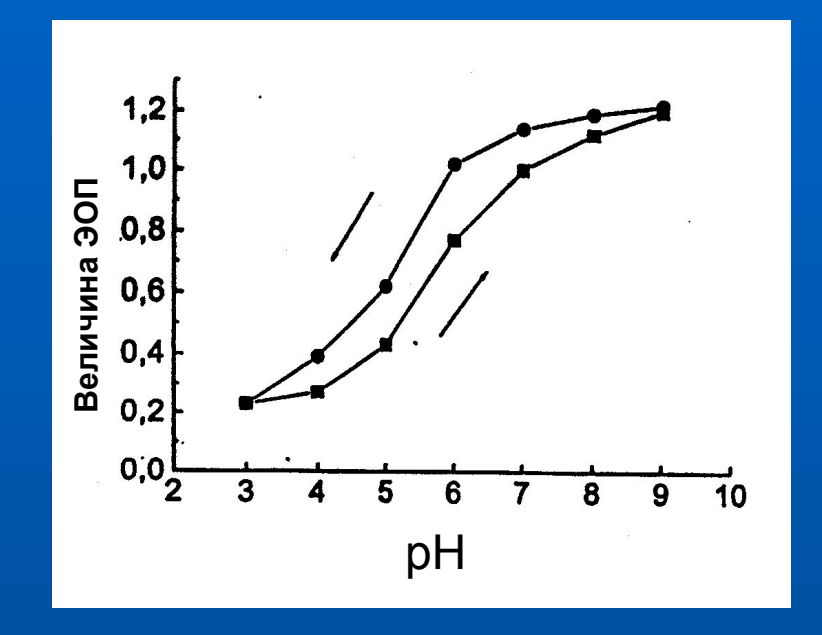
### Строение капилляра



- Трубка из плавленного кварца со строго фиксированными диаметрами.
- Внешний диаметр 375 мкм, внутренний от 20 до 100 мкм (50, 75 мкм)
- Длина 20 100 см
- Покрытие полиимидной пленкой
- В месте детектирования покрытие удалено (окно детектирования)

# Электроосмотический поток и причины его возникновения



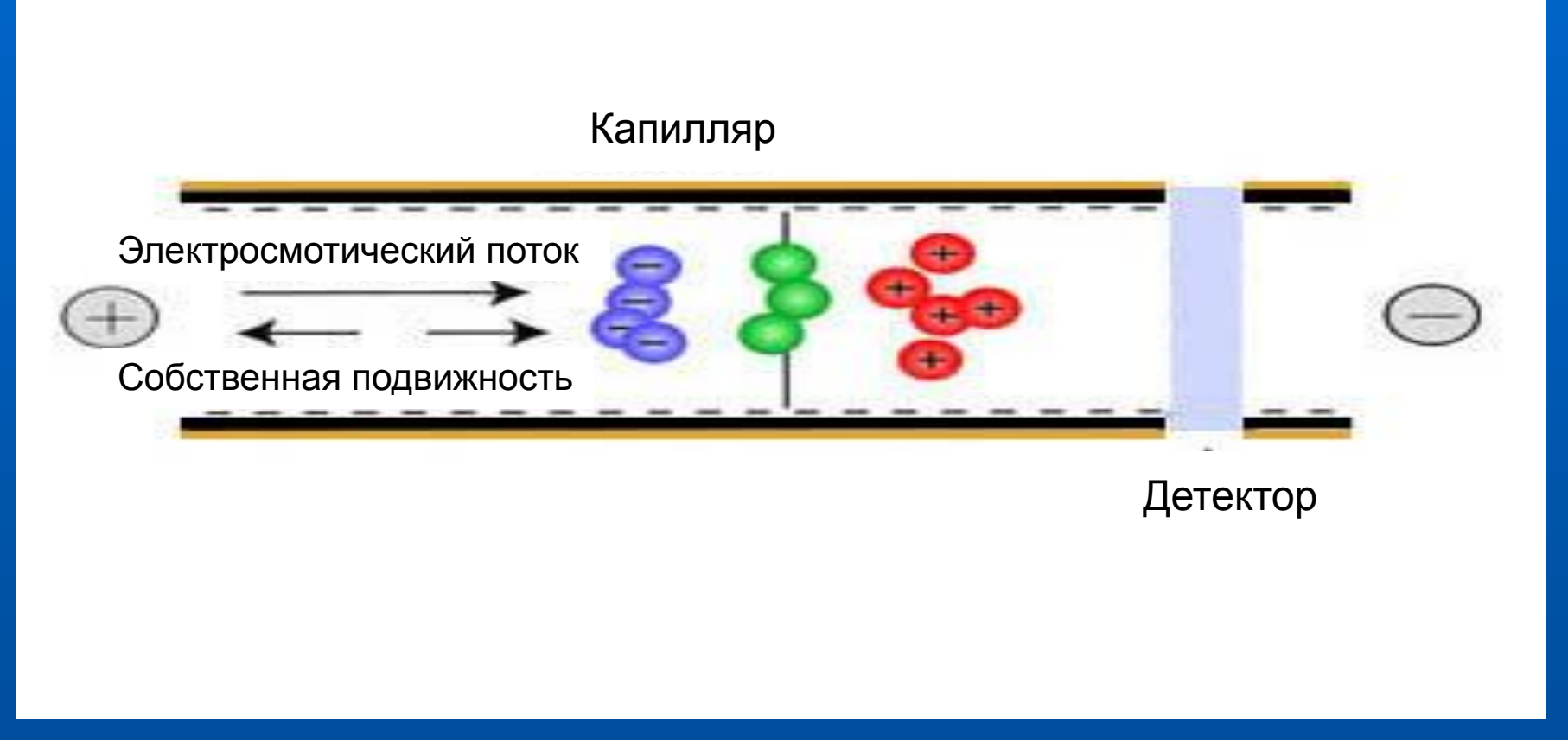


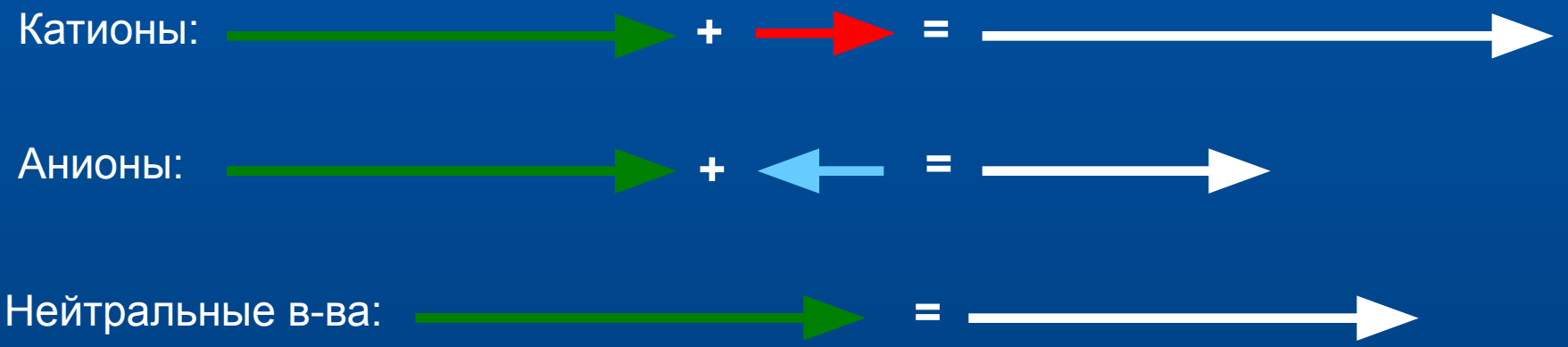




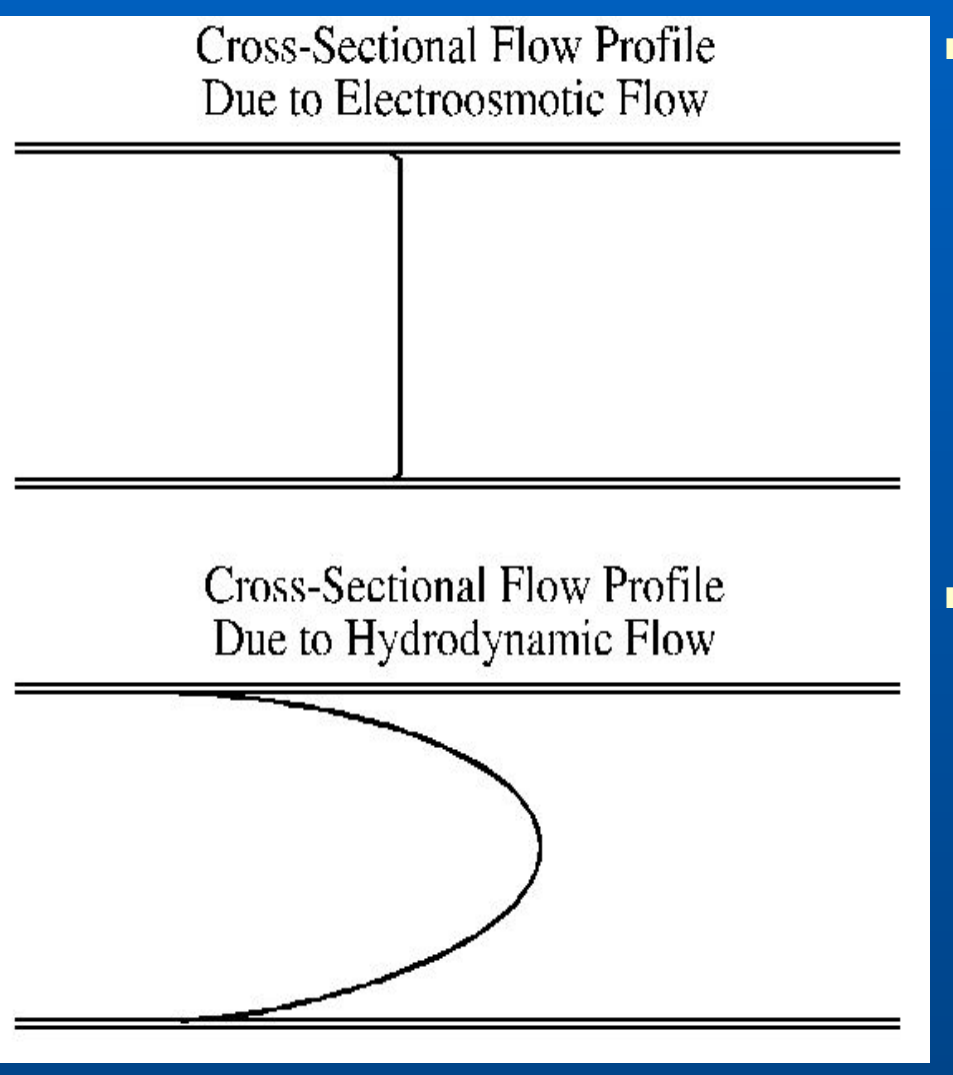


### Скорость и направление движения ионов по капилляру





# Профиль гидродинамического и электроосмотического потоков



### Электроосмотический

- Плоский профиль
- Минимизируется размывание зон
- Зависит от свойств поверхности капилляра

### Гидродинамический

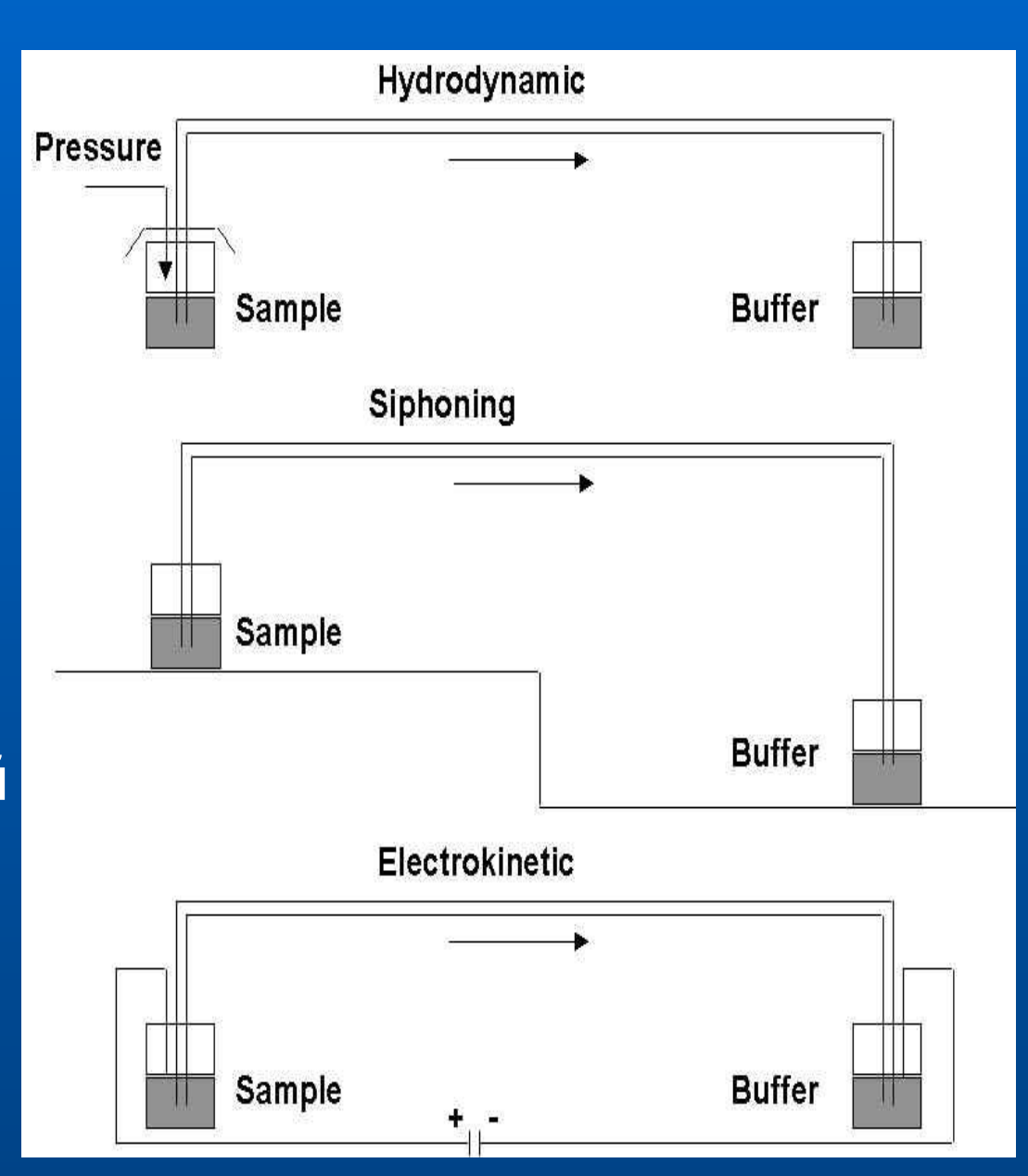
- Параболический профиль
- Большее размывание зоны
- Не зависит от свойств поверхности

### Выделение тепла капилляром

- Капилляр работает как сопротивление
- Чем больше ток, тем больше выделение тепла
- Зависимость силы тока от напряжения нелинейна
- Чем меньше диаметр капилляра, тем меньше ток
- Чем концентрация буферного электролита, тем меньше ток
- Желателен ток до <60 мA ( < 1 W)

## Ввод пробы в капилляр

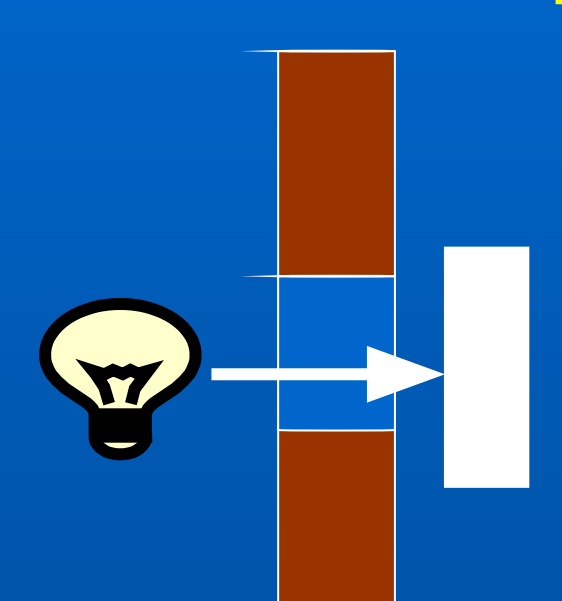
- Гидродинамический
  - Давление
  - Вакуум
- Гидростатический
- Электрокинетический



# Детектирование в капиллярном электрофорезе

- Капилляр имеет малый объем, следовательно объем вводимой пробы очень мал (нанолитры)
- Специальные приемы по минимизации мертвого объема
- Должна быть решена проблема высокого напряжения при анализе
- Обычно используемые детекторы
  - UV/Vis наиболее распространен
  - LIF (laser-induced fluorescence) наиболее чувствителен
  - Mass spectrometry наиболее перспективен
  - Бесконтактная кондуктометрия

## Пределы обнаружения



- Объем пробы ~ 1нл
- Длина оптического пути ~ 50 мкм
- Вещество с Mw = 100

Детектор	Абсолютные ПО,	Концентрационные ПО,
	моль	М/л - (мкг/мл)
UV/Vis	10 <sup>-16</sup> - 10 <sup>-13</sup>	10 -5 - (1)
LIF	10 <sup>-18</sup> - 10 <sup>-15</sup>	10 -8 - (0.001)
MS	$10^{-17} - 10^{-8}$	10 <sup>-6</sup> - (0.1)

# Оптимизация в капиллярном электрофорезе

- pH
  - Первое, что надо варьировать
  - Влияет на ЭОП и подвижность (заряд)
- Органический растворитель
  - Сольватация веществ
- Концентрация и природа добавок
  - образование мицелл, ионных пар и т.п.
- Неводный электрофорез
  - Сольватация, заряд (но проблемы с током!)
- Температура, напряжение
  - Сольватация, хим. равновесие, подвижность

# Достоинства капиллярного электрофореза

- Очень высокая эффективность (до 6 млн. тт)
- Требуемый объем пробы (1-10 мкл)
- Быстрое разделение (1 30 мин)
- Предсказуемая селективность
- Автоматизация
- «Ненужные» компоненты матрицы пробы можно легко удалить из капилляра промывкой
- Капилляр легко заменить
- Совместимость с масс-селективным детектором

## Недостатки капиллярного электрофореза

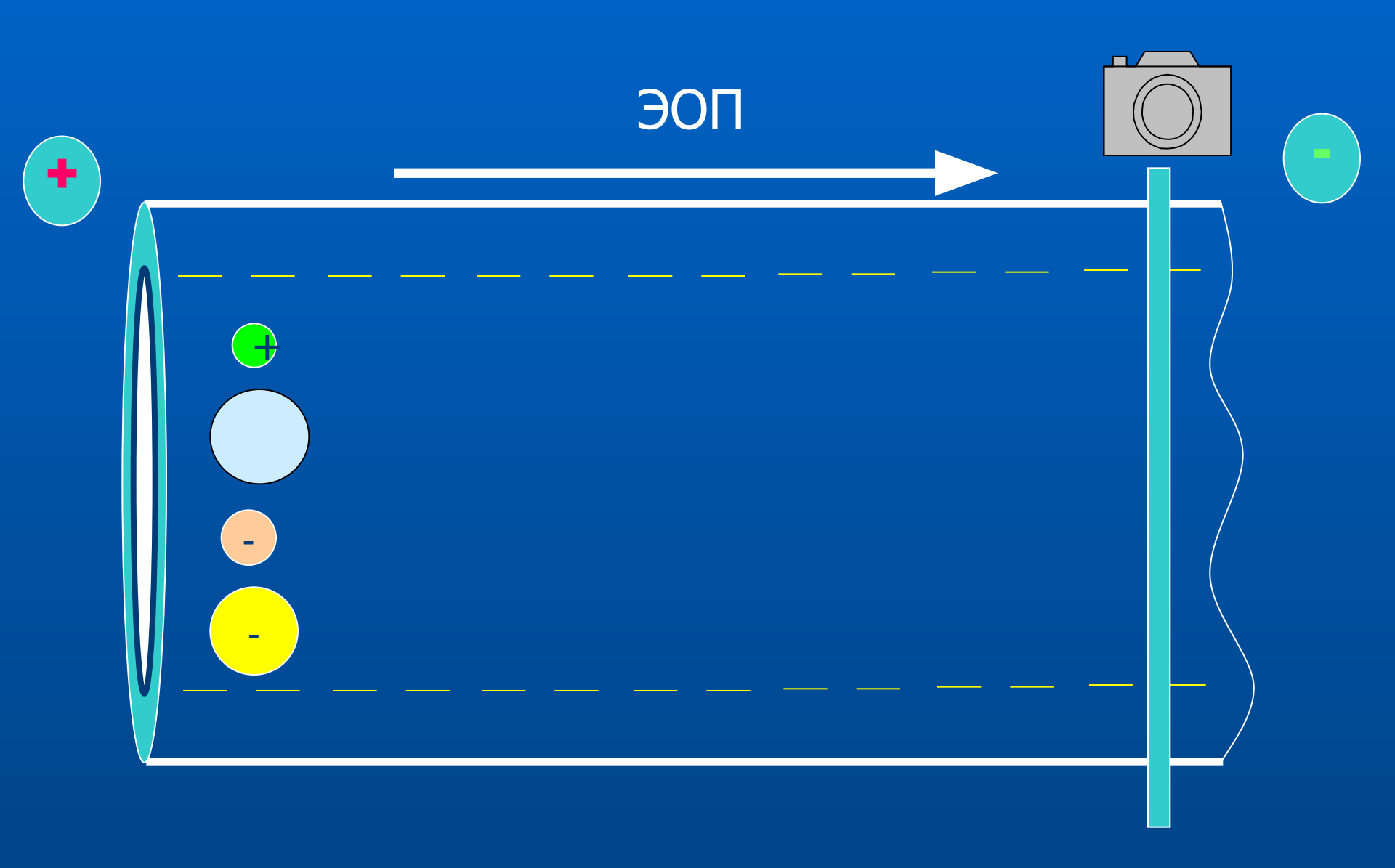
- Часто недостаточная чувствительность
- Хуже воспроизводимость по сравнению с хроматографией
- Сложно контролировать величину ЭОП
- Свойства капилляров могут меняться от партии к партии
- Узкий динамический диапазон (1 порядок концентраций)
- Образование пузырьков газа в капилляре
- Форма пиков часто несимметрична

## Основные виды электрофореза

- Капиллярный зонный электрофорез (CZE)
- Мицеллярная электрокинетическая хроматография (MEKC)
- Микроэмульсионная электрокинетическая хроматография (МЕЕКС)
- Капиллярная электрохроматография с заполненными капиллярами (СЕС)
- Капиллярный гель-электрофорез (CGE)
- Изотахофорез (ITP)
- Капиллярная изоэлектрическая фокусировка (CIEF)

# Капиллярный зонный электрофорез

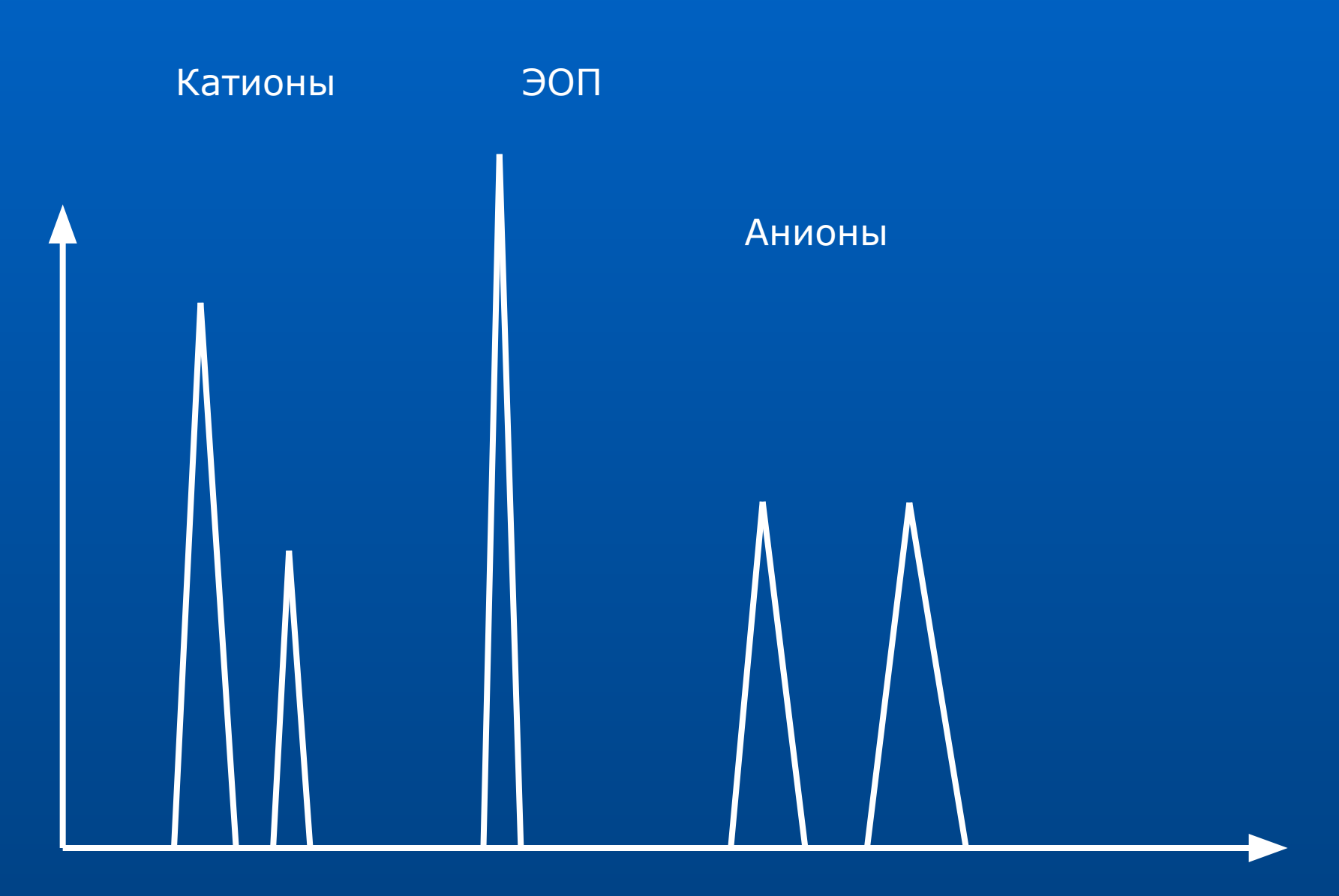
## Схема удерживания ионов в капиллярах



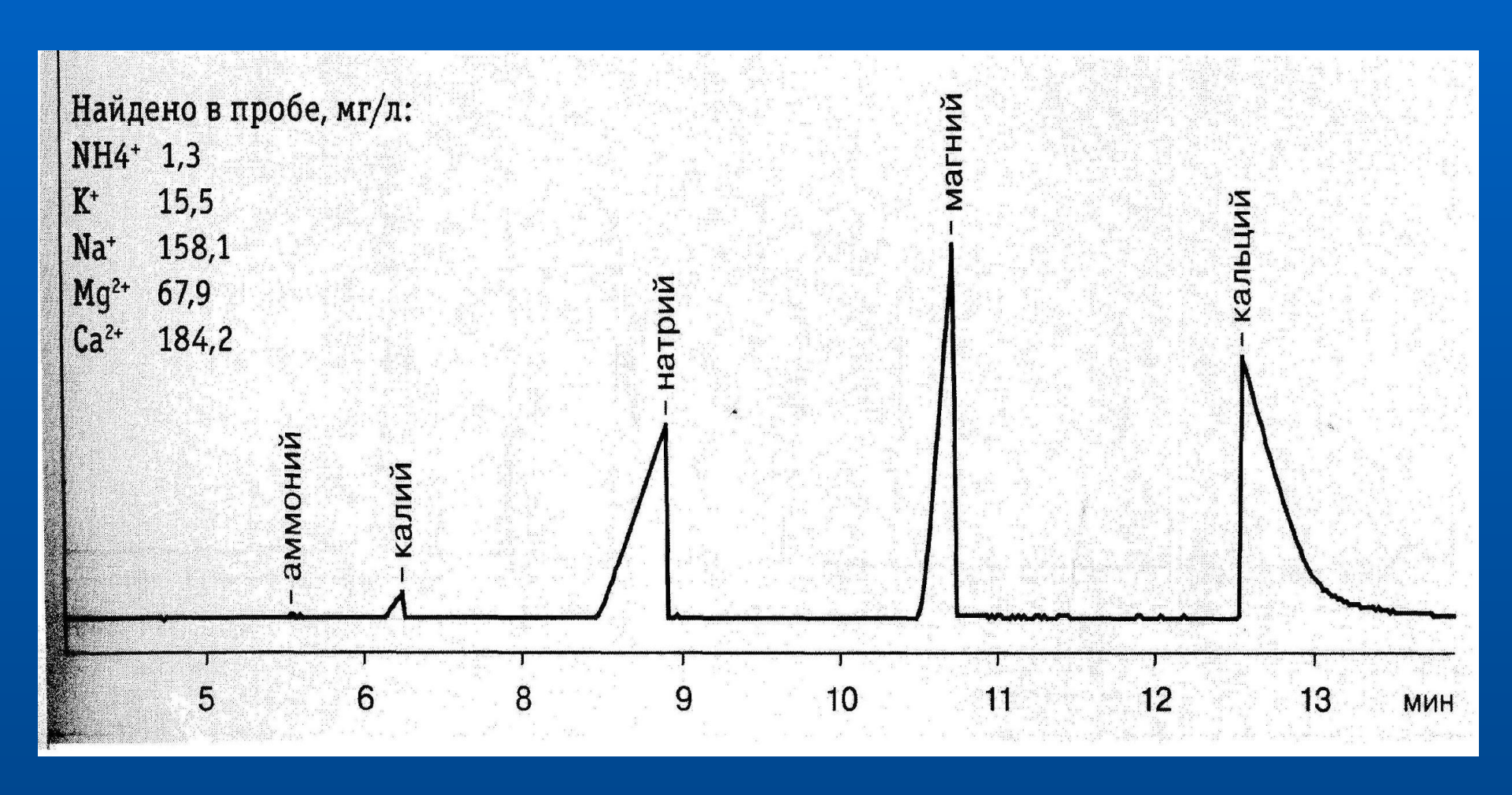
## Механизм разделения в капиллярном зонном электрофорезе

- Разделяются ТОЛЬКО заряженные соединения. Направления движения катионов и анионов различны.
- Подвижности ионов отличаются в зависимости от отношения их заряда к размеру, что обусловливает разделение.
- Общая подвижность зависит от направления и величины ЭОП

# Порядок миграции ионов в кварцевых капиллярах



# Определение катионов в сточных водах методом капиллярного зонного электрофореза



Буферный электролит: 10 мМ бензимидазол, винная кислота, 18-краун-6

Напряжение: 13 кВ

Детектирование: Косвенное, 254 нм

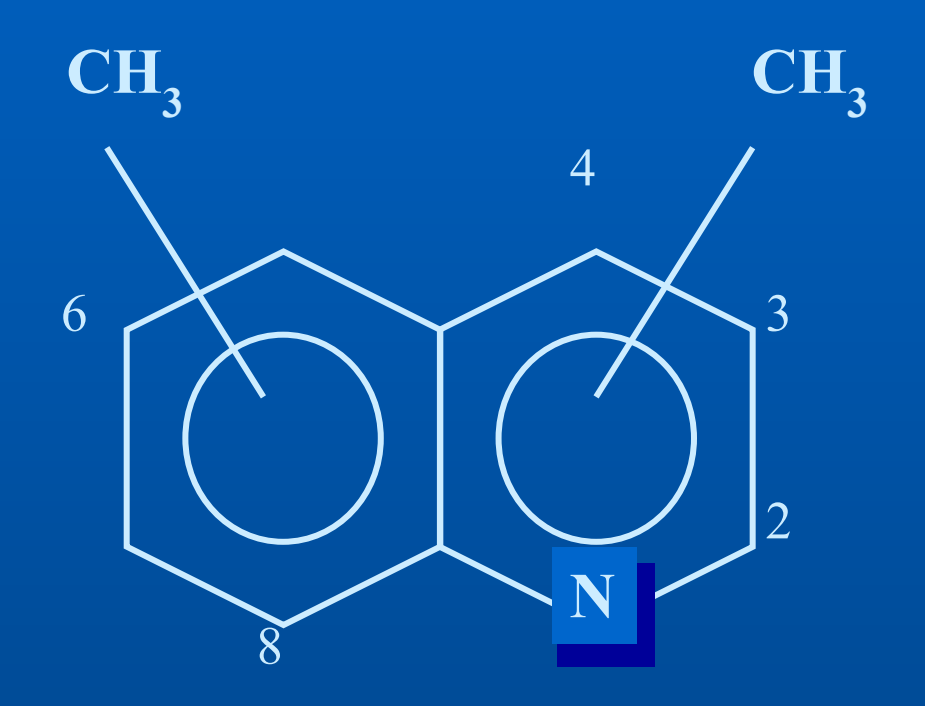
## Хорошие начальные условия для КЗЭ:

Капилляр: 75 мкм внутренний диаметр, 60 см длина

Электролит: Фосфатный или боратный буферный раствор с концентрацией около 50 мМ

Напряжение: +/- 20 kV (так, чтобы ток не более 100  $\mu$ A)

## Задача. Разделить смесь хинолинов

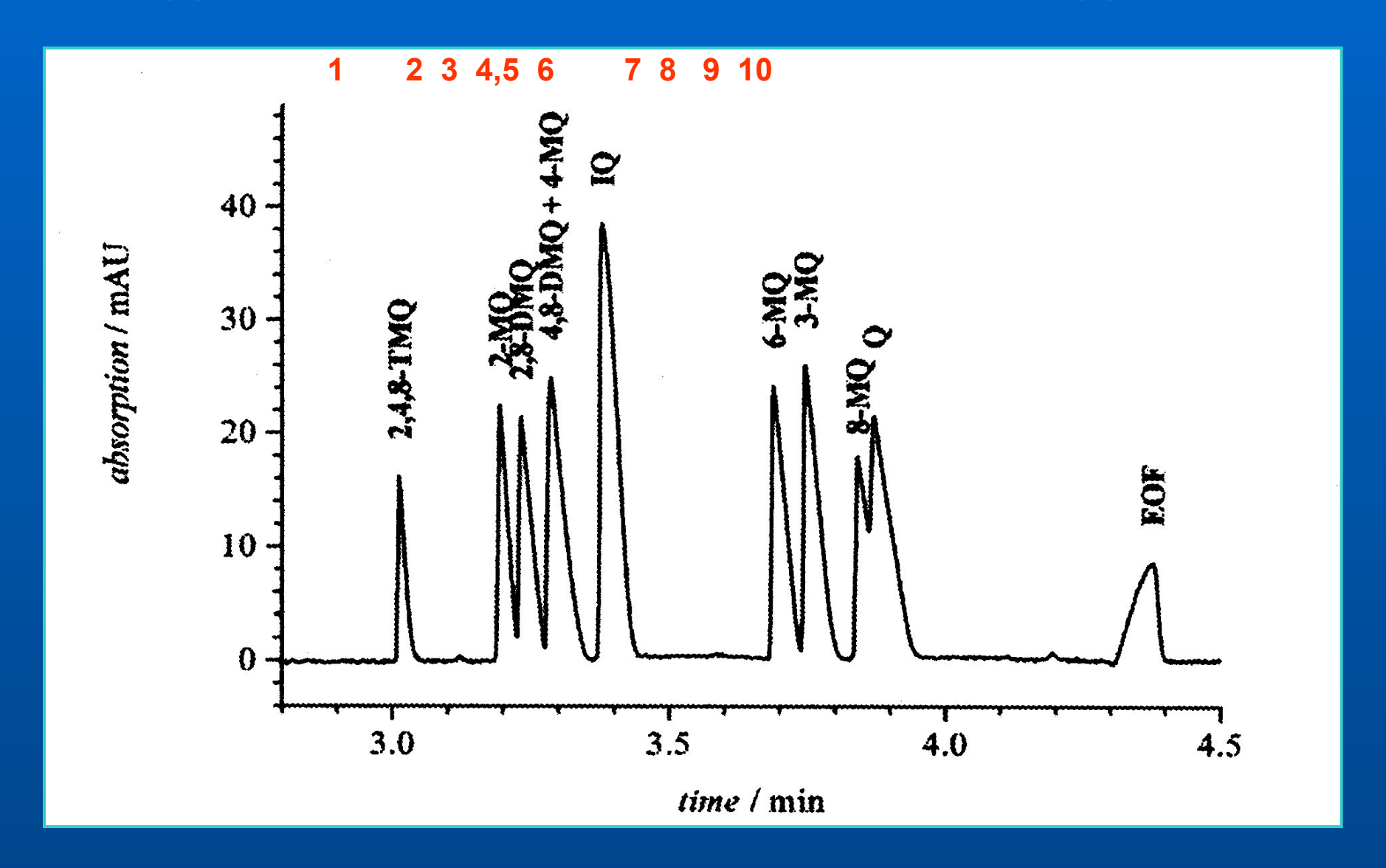


Исходные материалы при производстве пиридинкарбоновых кислот и их производных

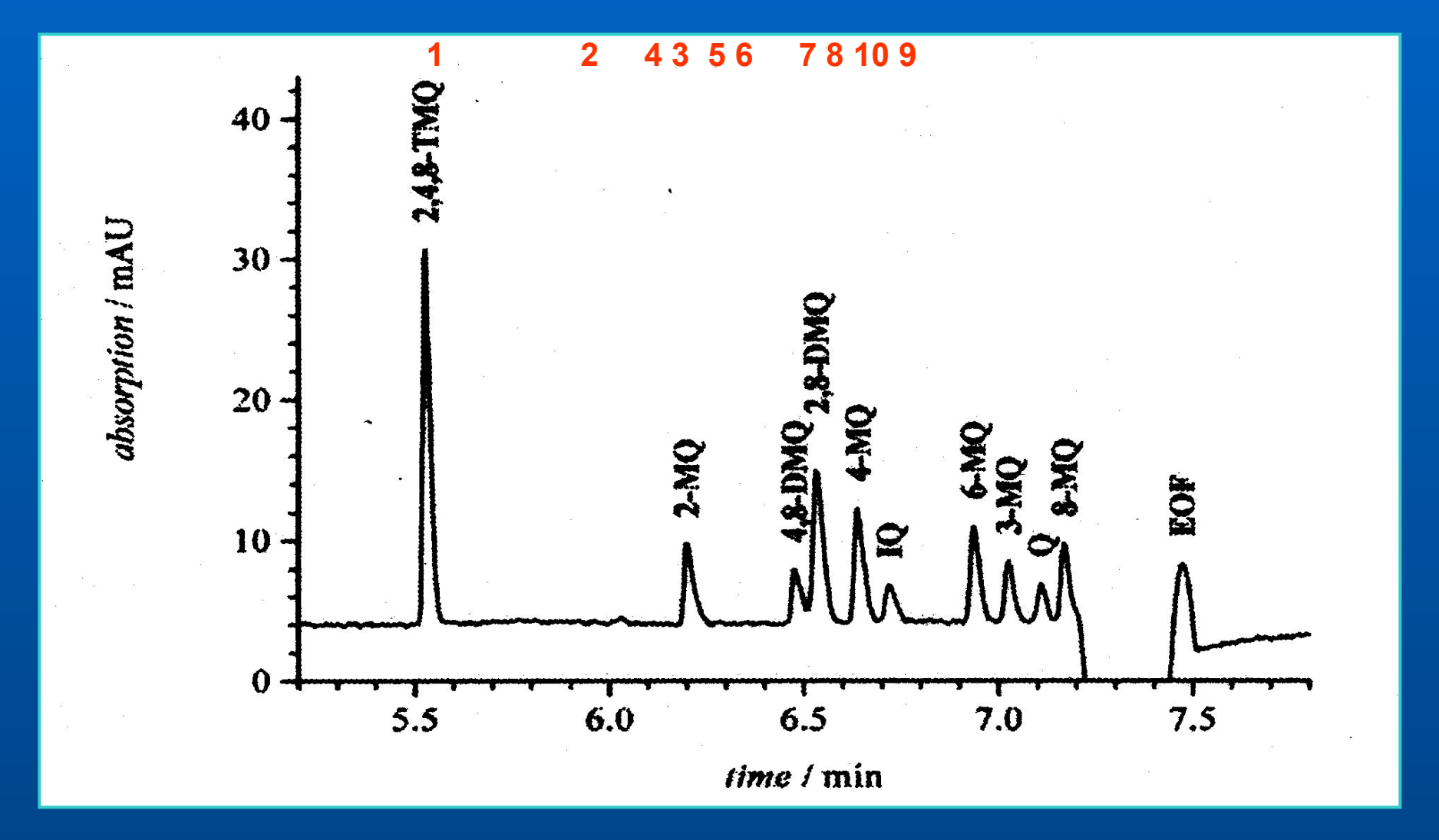
**Активные ингредиенты в** фармацевтике

Некоторые метилхинолины присутствуют в биологических объектах (выделения скунса)

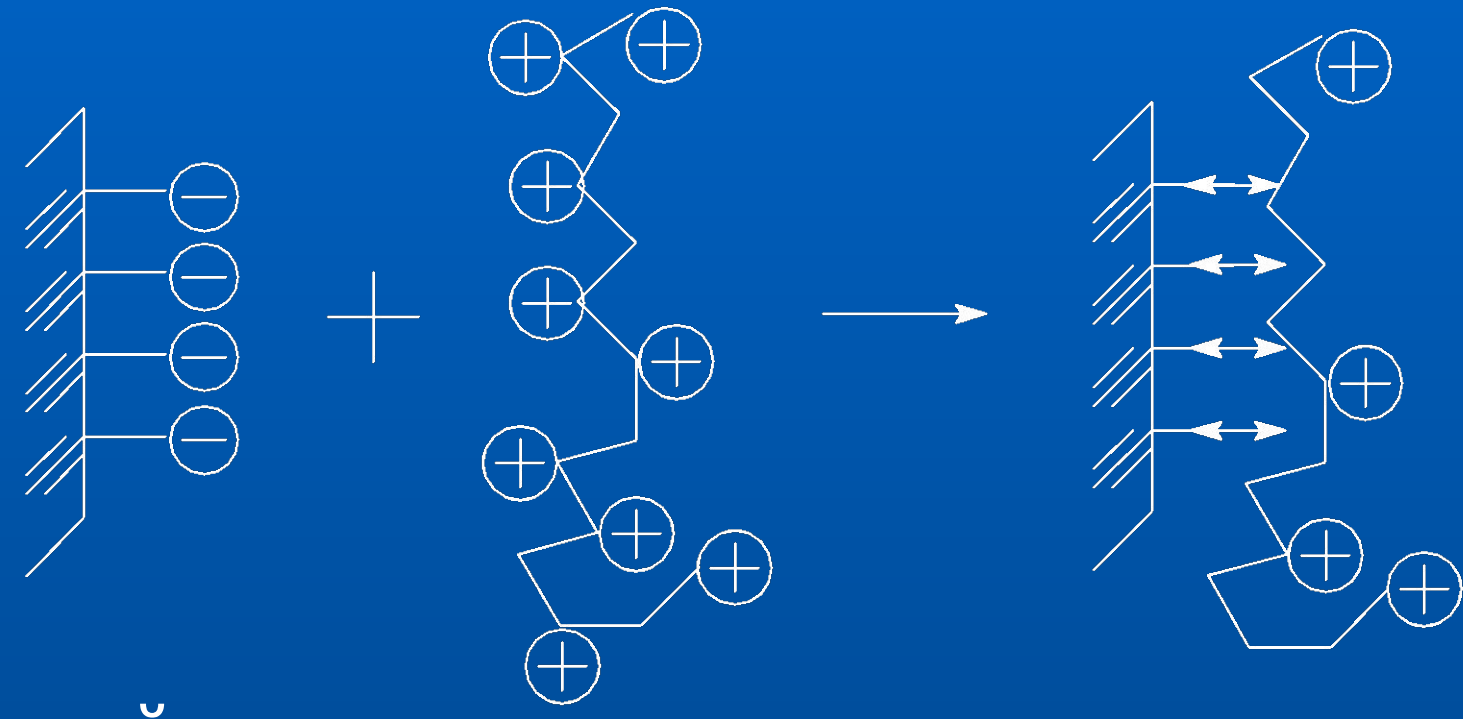
## Разделение смеси хинолинов методом КЗЭ



# Разделение смеси хинолинов методом КЗЭ в неводной среде

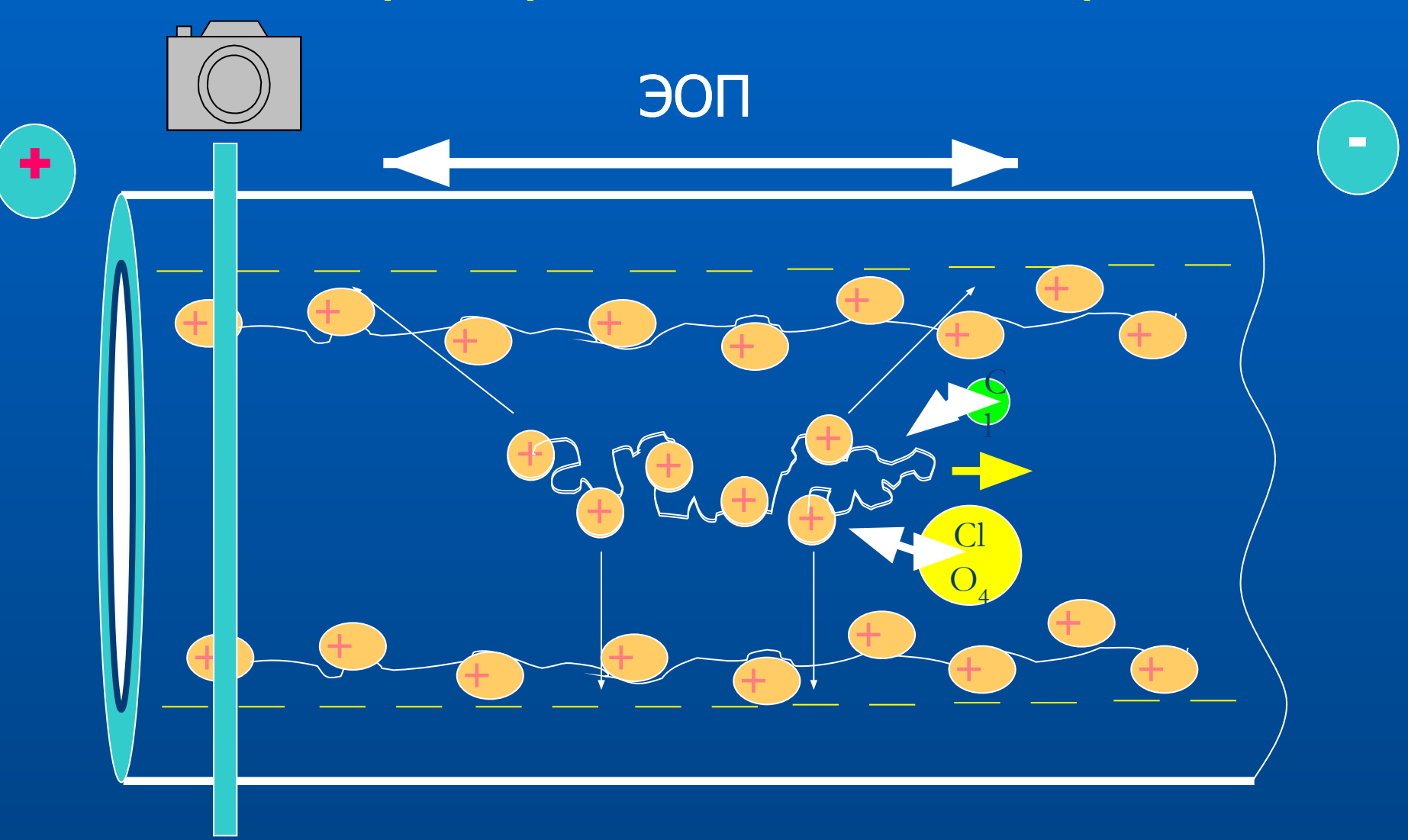


# Принцип образования полиэлектролитных комплексов

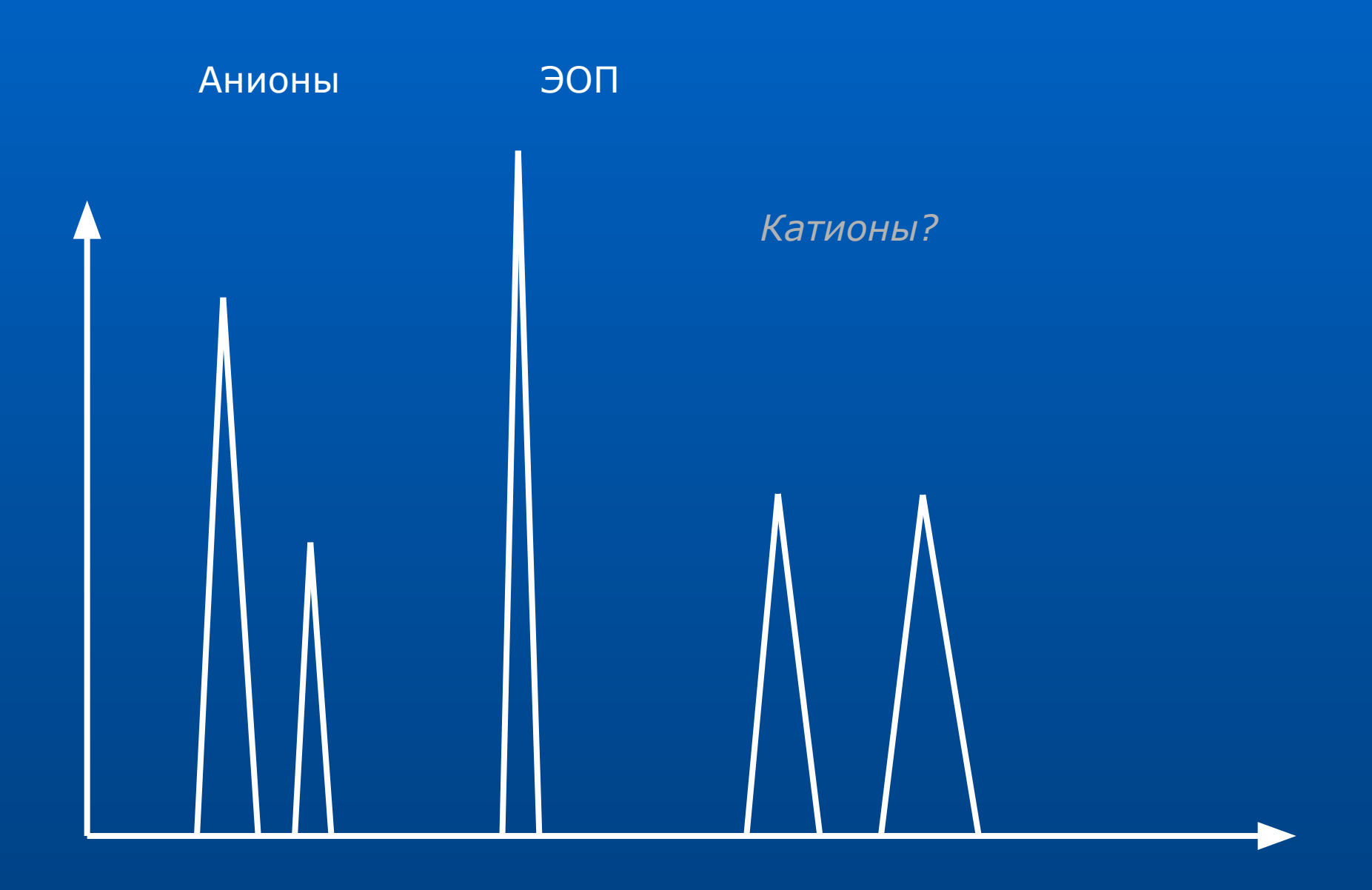


- Простой синтез
- Высокая стабильность покрытия ( $K = 10^{100-200}$ )
- Различные структуры полимеров-модификаторов
- Конформационные эффекты
- Варьирование молекулярной массы полимеров

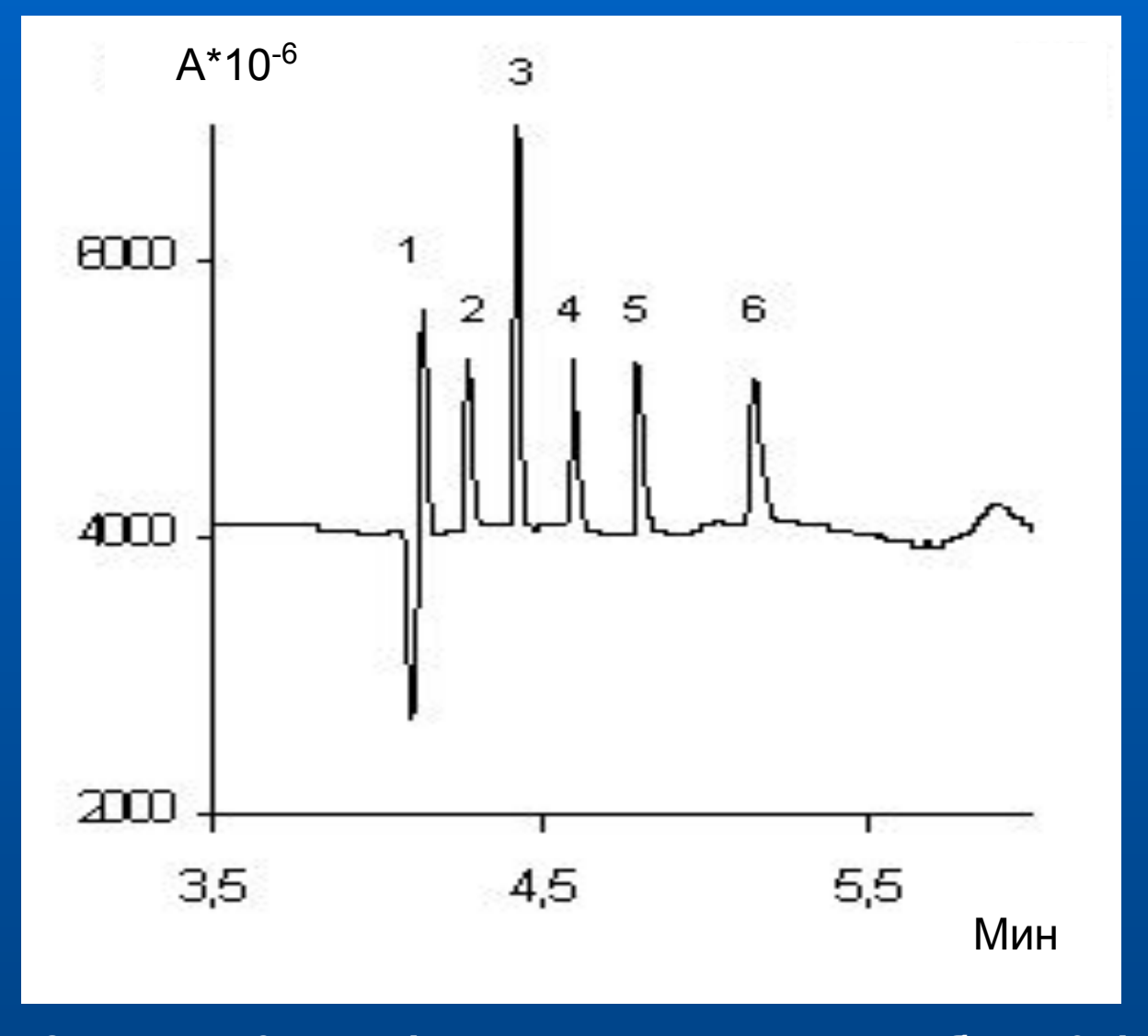
# Схема удерживания анионов в модифицированных капиллярах



# Порядок миграции ионов в модифицированных кварцевых капиллярах

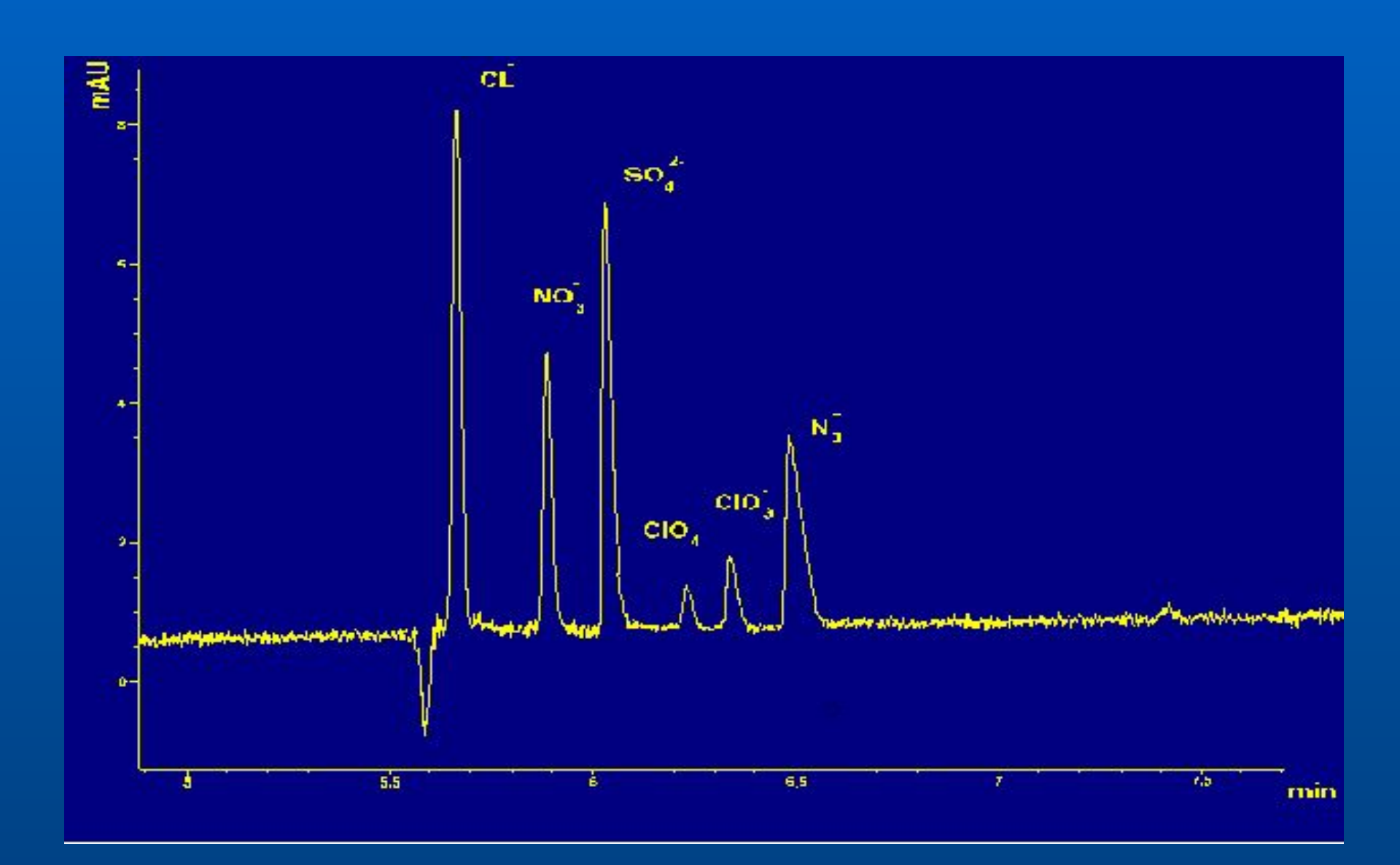


# Определение анионов в варианте КЗЭ с обращенным электроосмотическим потоком

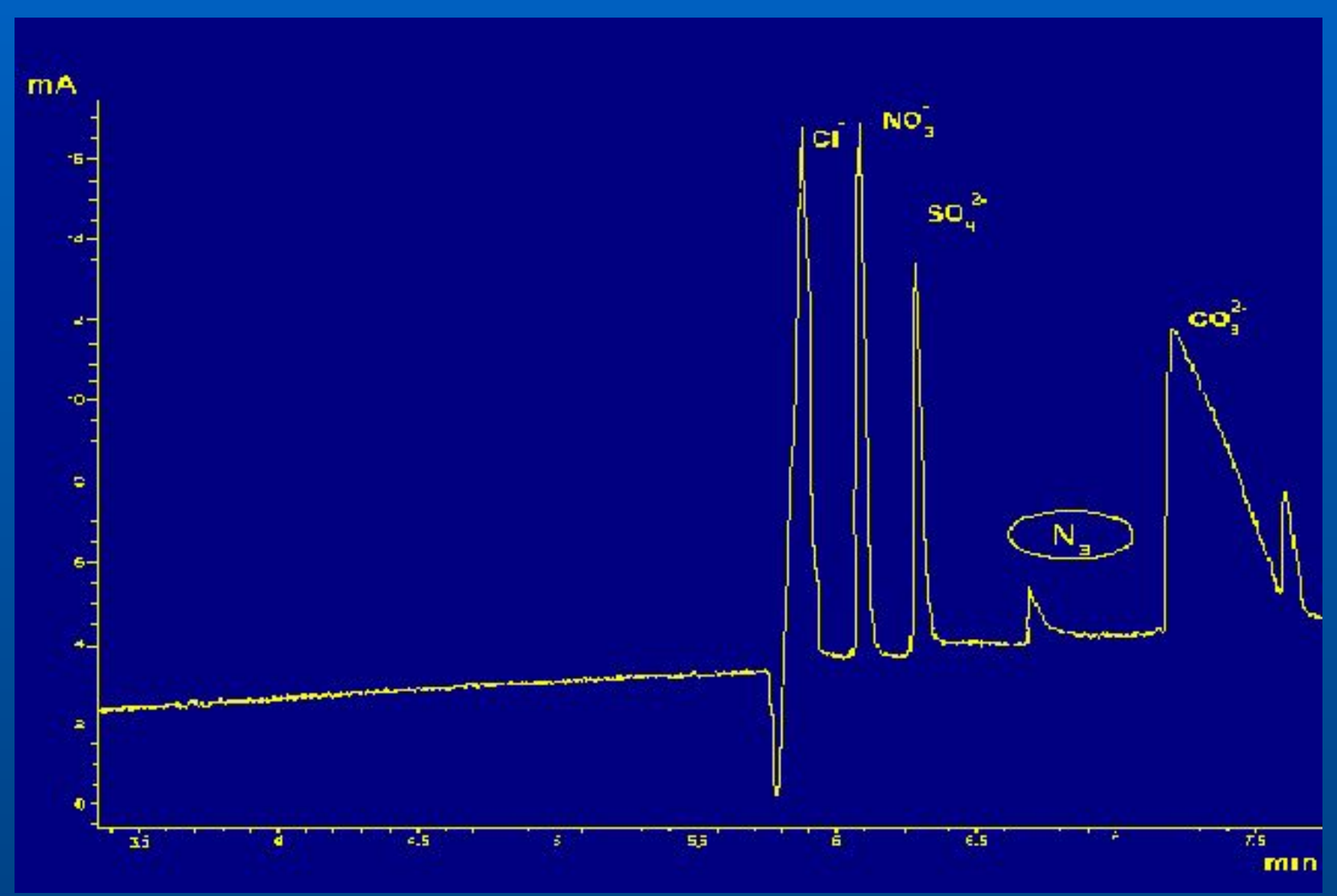


1-хлорид, 2-нитрит, 3-сульфат, 4-перхлорат, 5-молибдат, 6-формиат

# Определение инициаторов взрывчатых веществ Модификатор: 2,4-ионен



# Определение азида в пробе с места взрыва



## Анализ лекарственных композиций

### Церебролизин ® Высокое качество

Аминокислоты Витамины Ароматические консерванты ПАВ Гетероциклы

Гормоны другие вещества

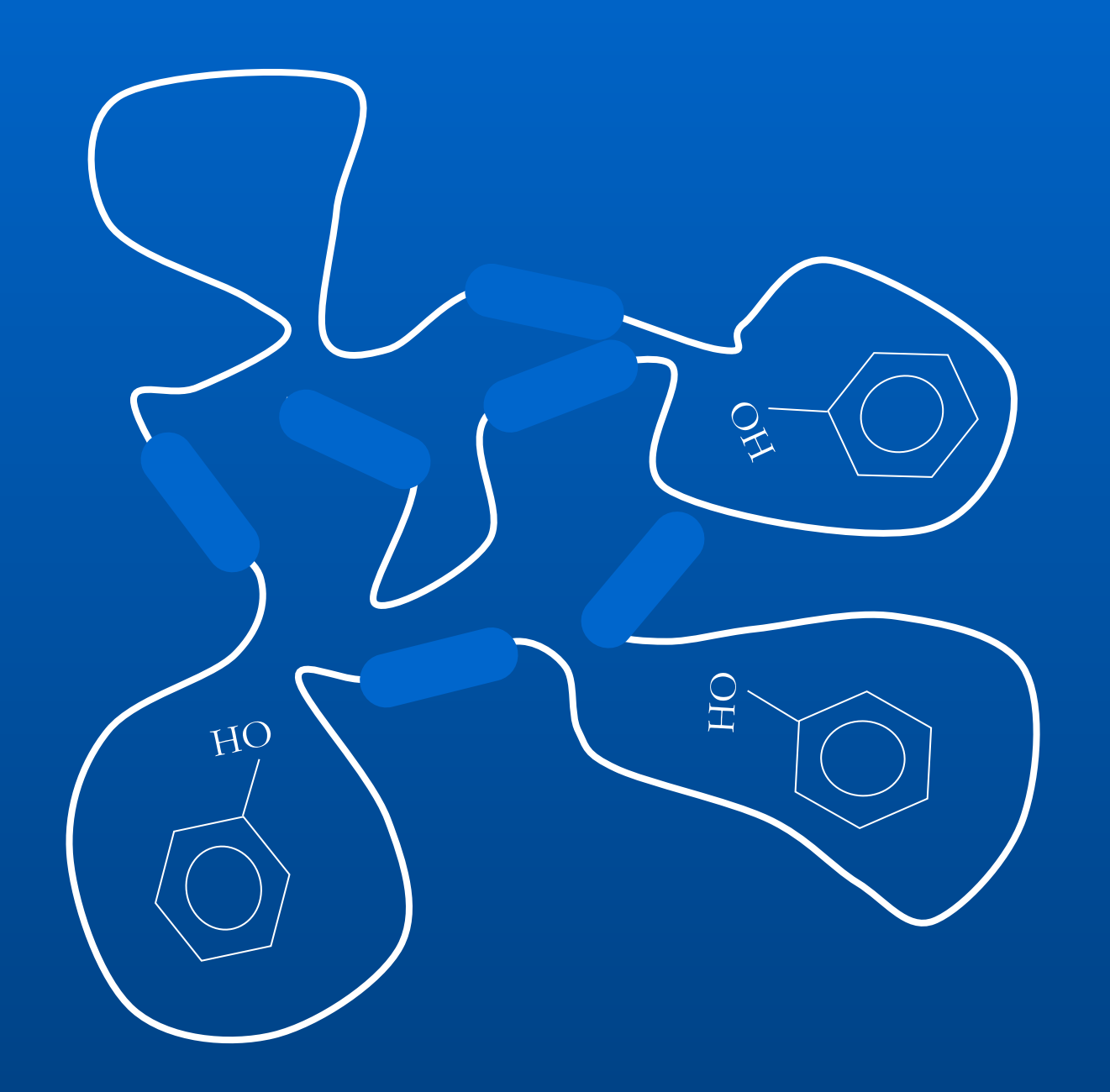
Церебролизат ®

**?** качество

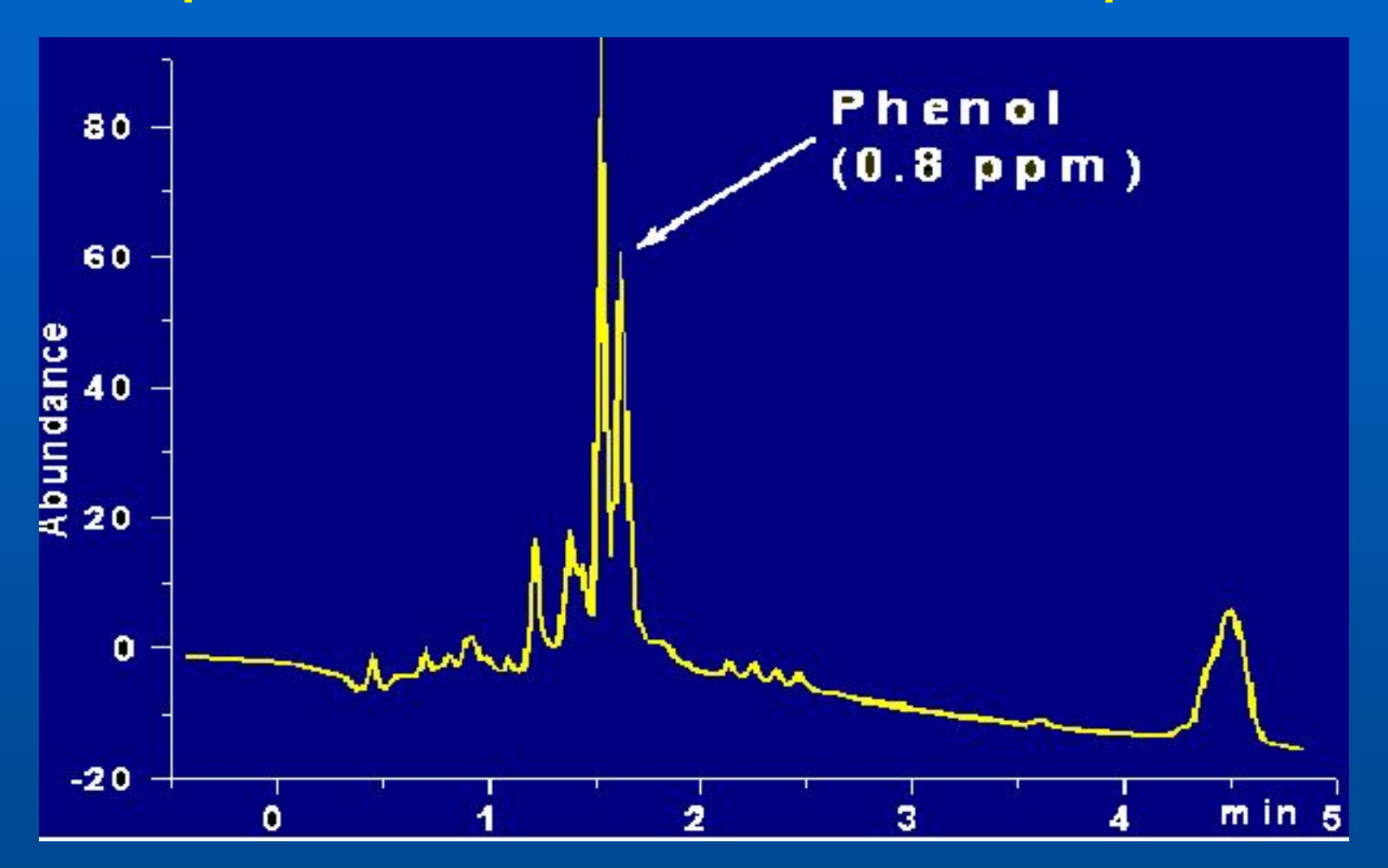


Фенол?

## Структура 2,10-ионена



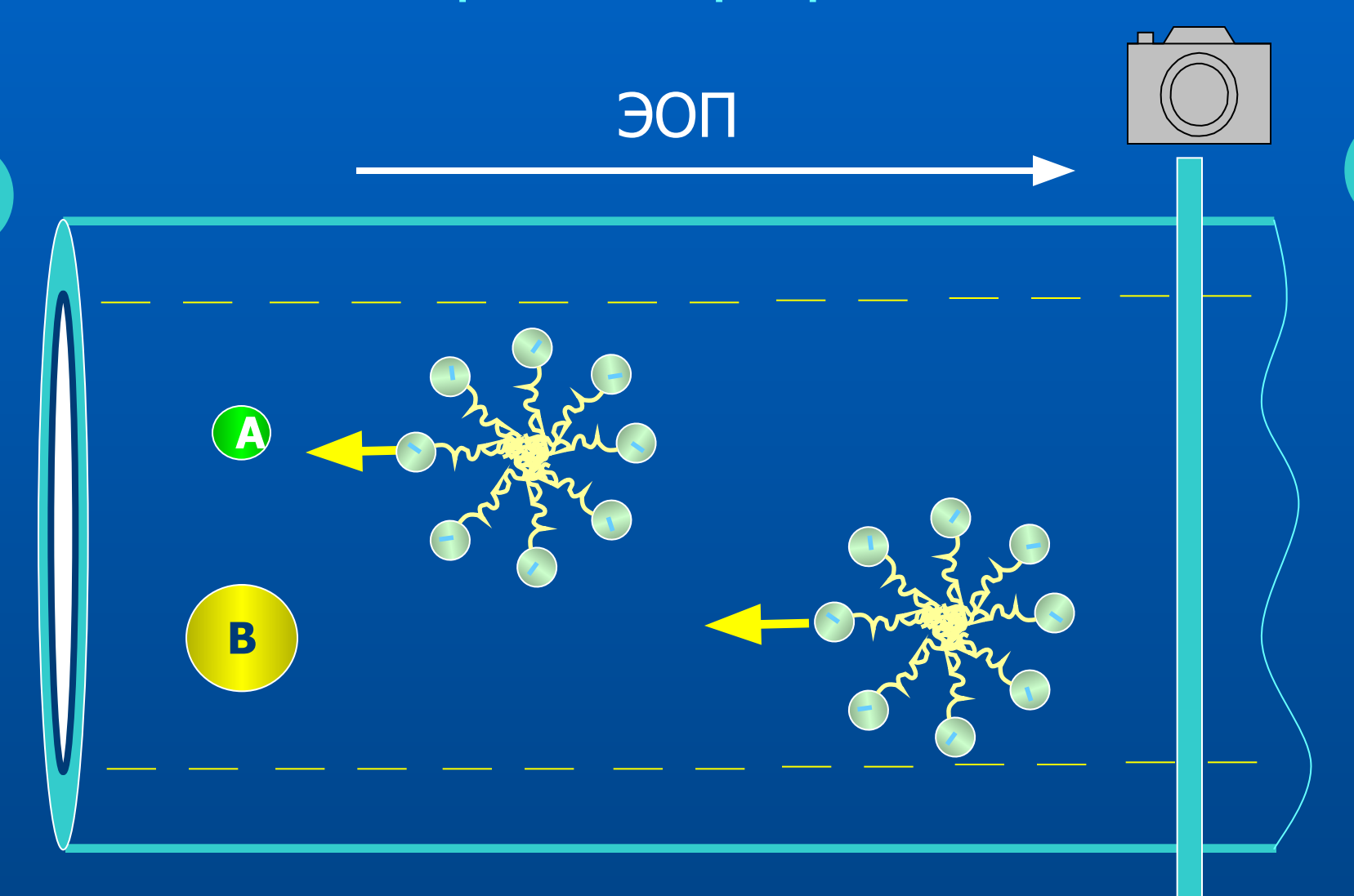
## Запрещенная добавка в лекарство



Buffer: 10 mM NaH2PO4 + 0.05% 2,10-ionene, pH 9.9 Capillary: 35.5 cm(eff) \* 50 µm l.D. Voltage –20 kV. Detection: 214 nm

# Мицеллярная электрокинетическая хроматография

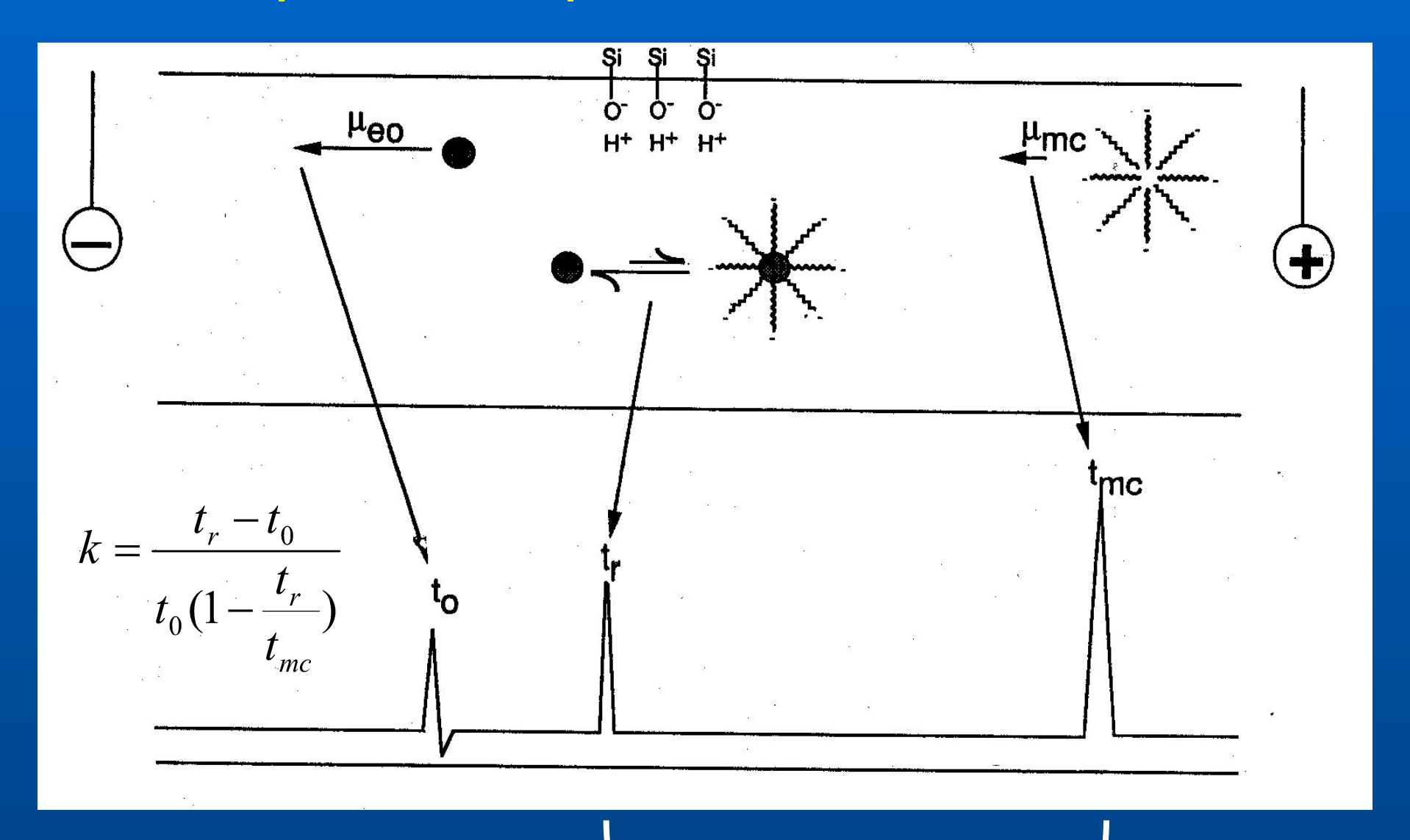
## Мицеллярная электрокинетическая хроматография



## Механизм разделения в мицеллярной электрокинетической хроматографии

- Два механизма разделения
  - Электрофоретическая подвижность в свободном растворе электролита
  - Распределение между аналитом и мицеллами
- Мицеллы
  - Образуются в растворах при концентрации ПАВ выше ККМ
  - Имеют заряженную поверхность и гидрофобное ядро
  - Додецилсульфат натрия (SDS) наиболее распространен (ККМ ~ 15 мМ).

### Порядок миграции веществ в МЕКС



#### Факторы, влияющие на селективность в МЕКС

#### Природа ПАВ

- Длина гидрофобного «хвоста» и природа гидрофильных ионогенных групп
- Различное агрегатное число (SDS = 16)
- Желчные кислоты
- Катионные ПАВ обращают направление ЭОП
- рК ионогенных групп

#### Буферный электролит

- Добавки органических растворителей имеют большее влияние, чем в КЗЭ.
- Большое кол-во орг. растворителей разрушает мицеллы
- рН и рК аналитов

#### Температура

- Сильное влияние на устойчивость и поведение мицелл
- Необходимо тщательное термостатирование (±2°С критично)

#### Хорошие начальные условия для МЕКС:

Капилляр: 50 мкм внутренний диаметр, 60 см длина

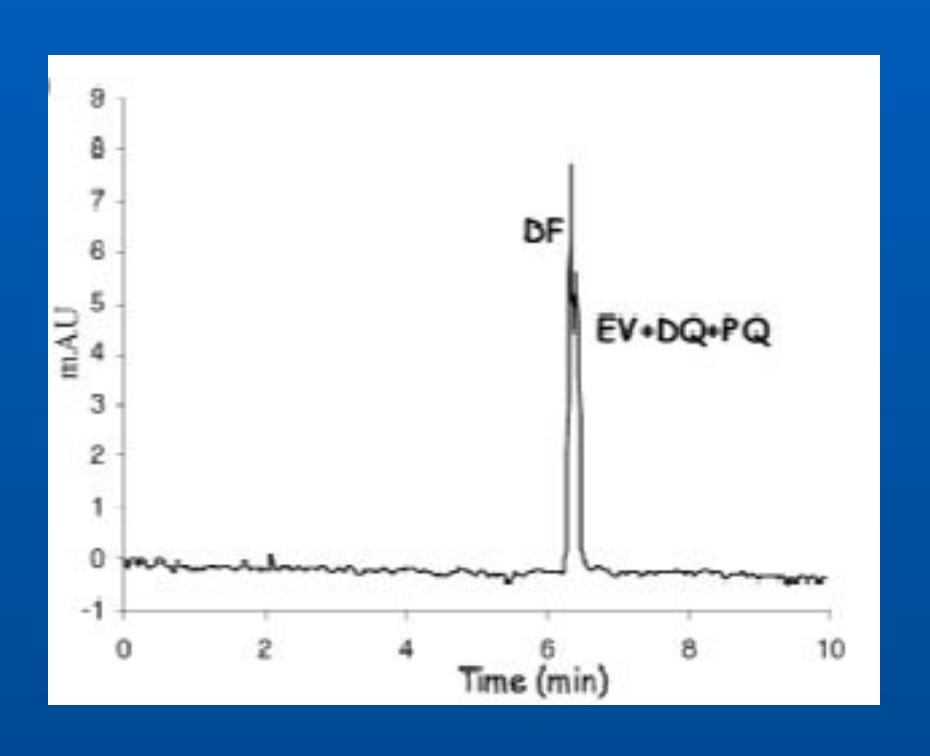
Электролит: 20 мМ боратный буферный раствор с рН 9, содержащий 50...100 мМ додецилсульфата натрия (SDS)

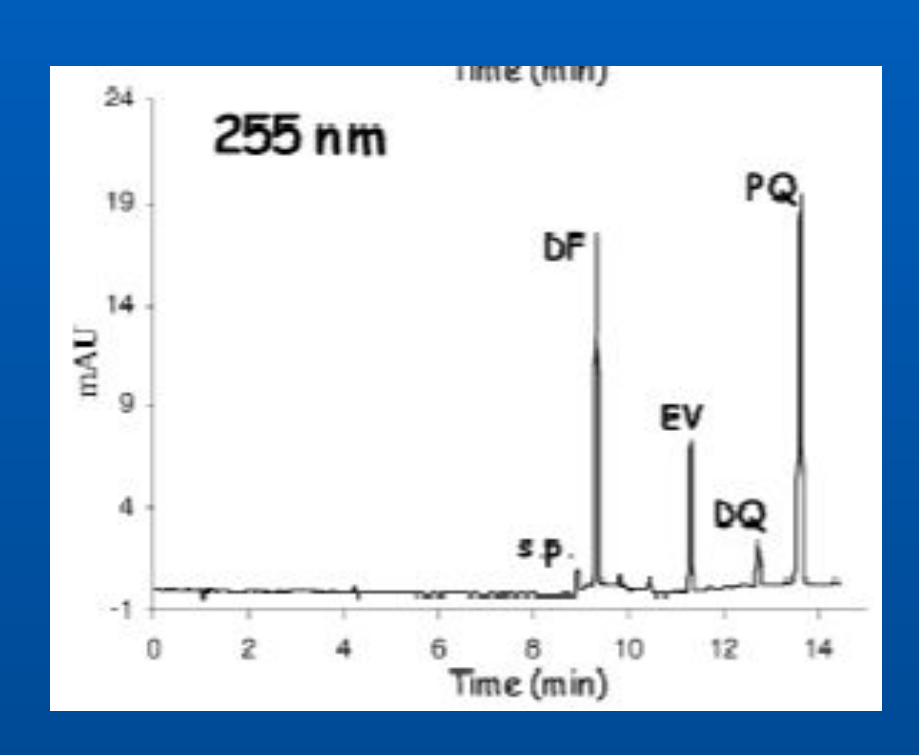
Напряжение: + 20 kV

## Структурные формулы ариламмониевых гербицидов

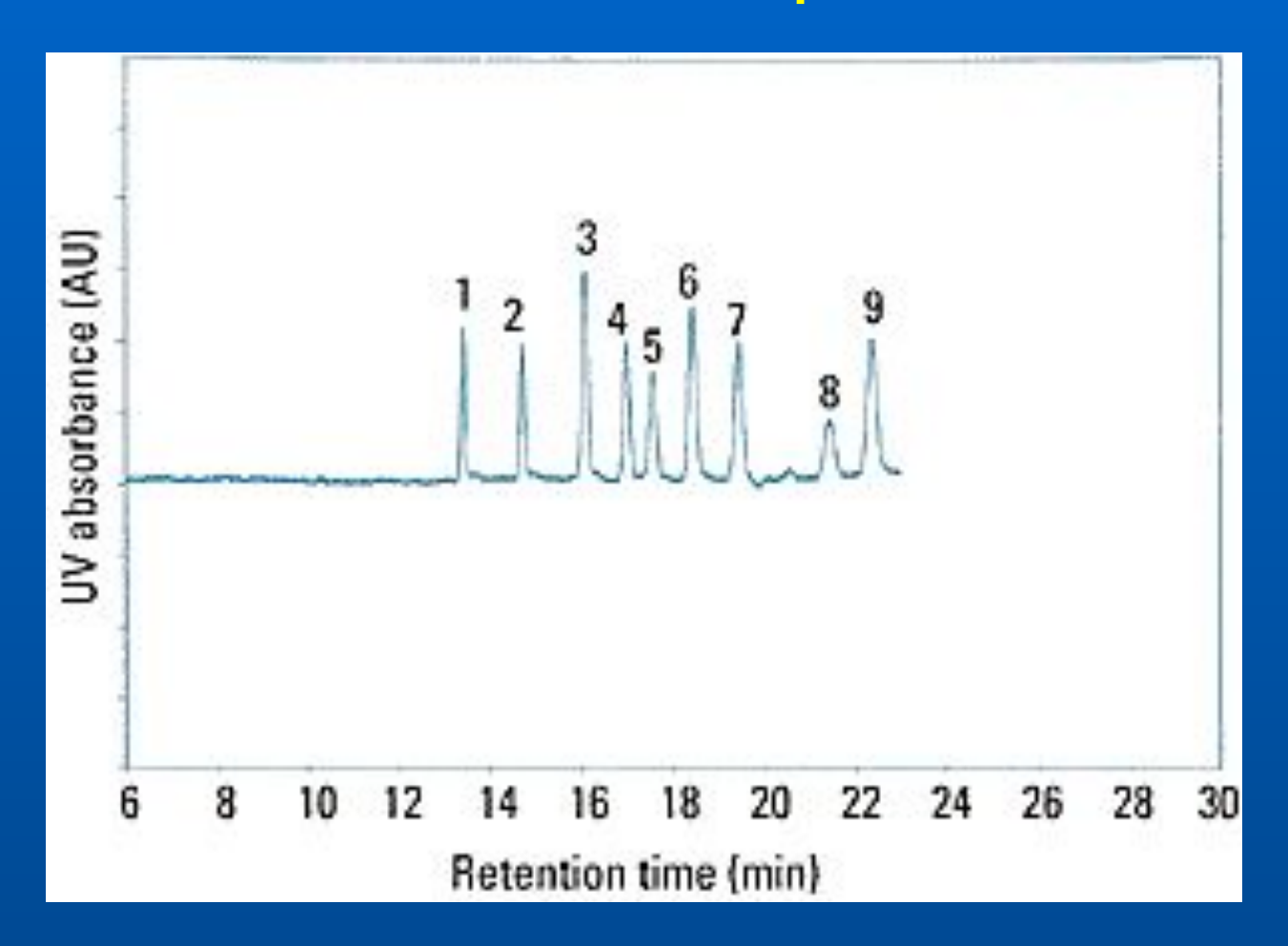
### Разделение гербицидов в варианте:

КЗЭ МЭКХ





### Разделение ПАУ в варианте МЕКС



#### Separation of nine PAHs in methanol:water (75:25 v/v).

Electrolyte is 10 mM H3PO4 with 70 mM sodium *n*–tetradecyl sulfate.

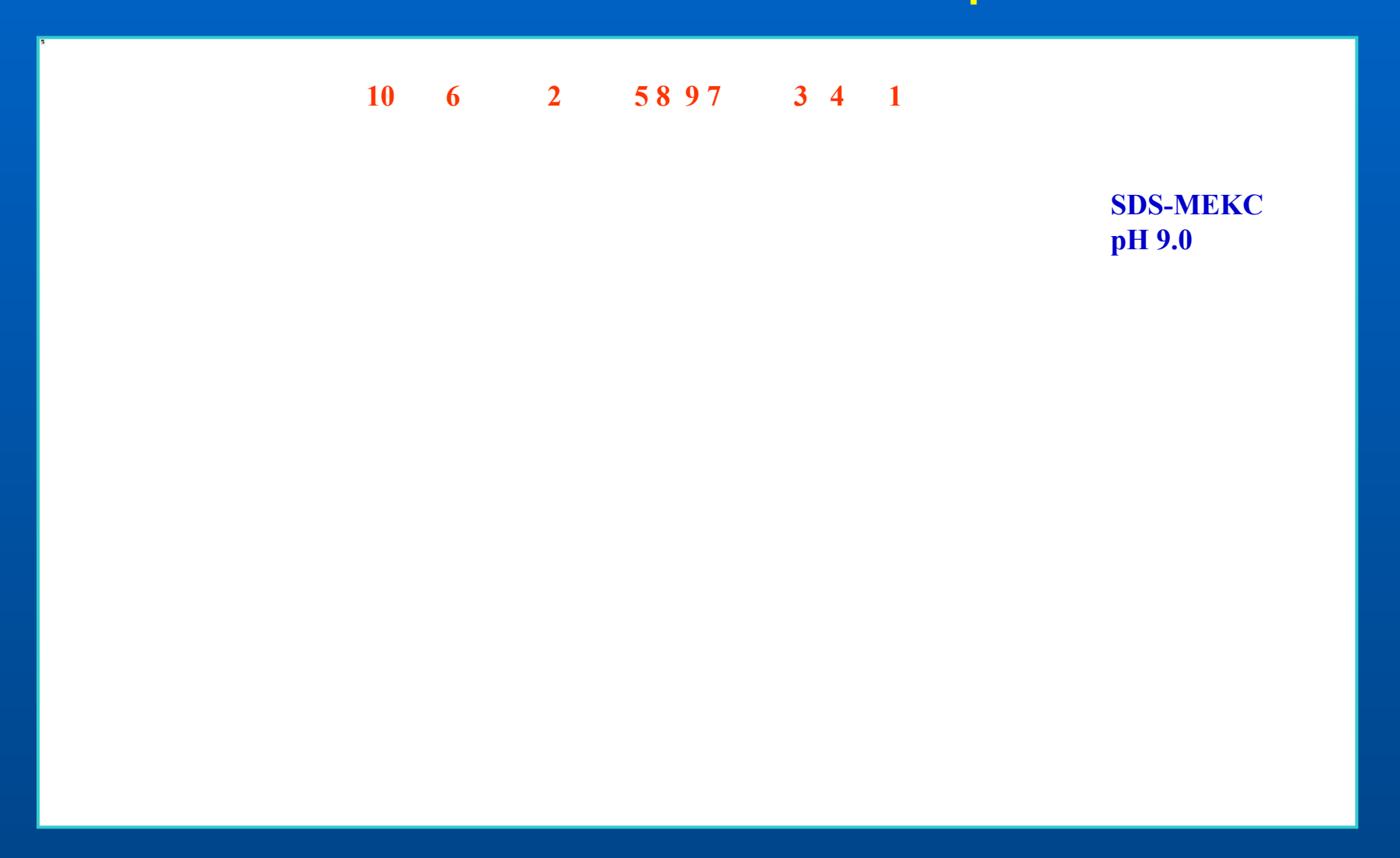
- 1, benzo[a]perylene; 2, perylene; 3, benzo[a]anthracene; 4, pyrene;
- 5, 9-methylanthracene; 6, anthracene; 7, fluorene; 8, napthalene; 9, benzophenone.

### Разделение смеси хинолинов методом МЕКС с Brij-35 в качестве мицеллообразователя

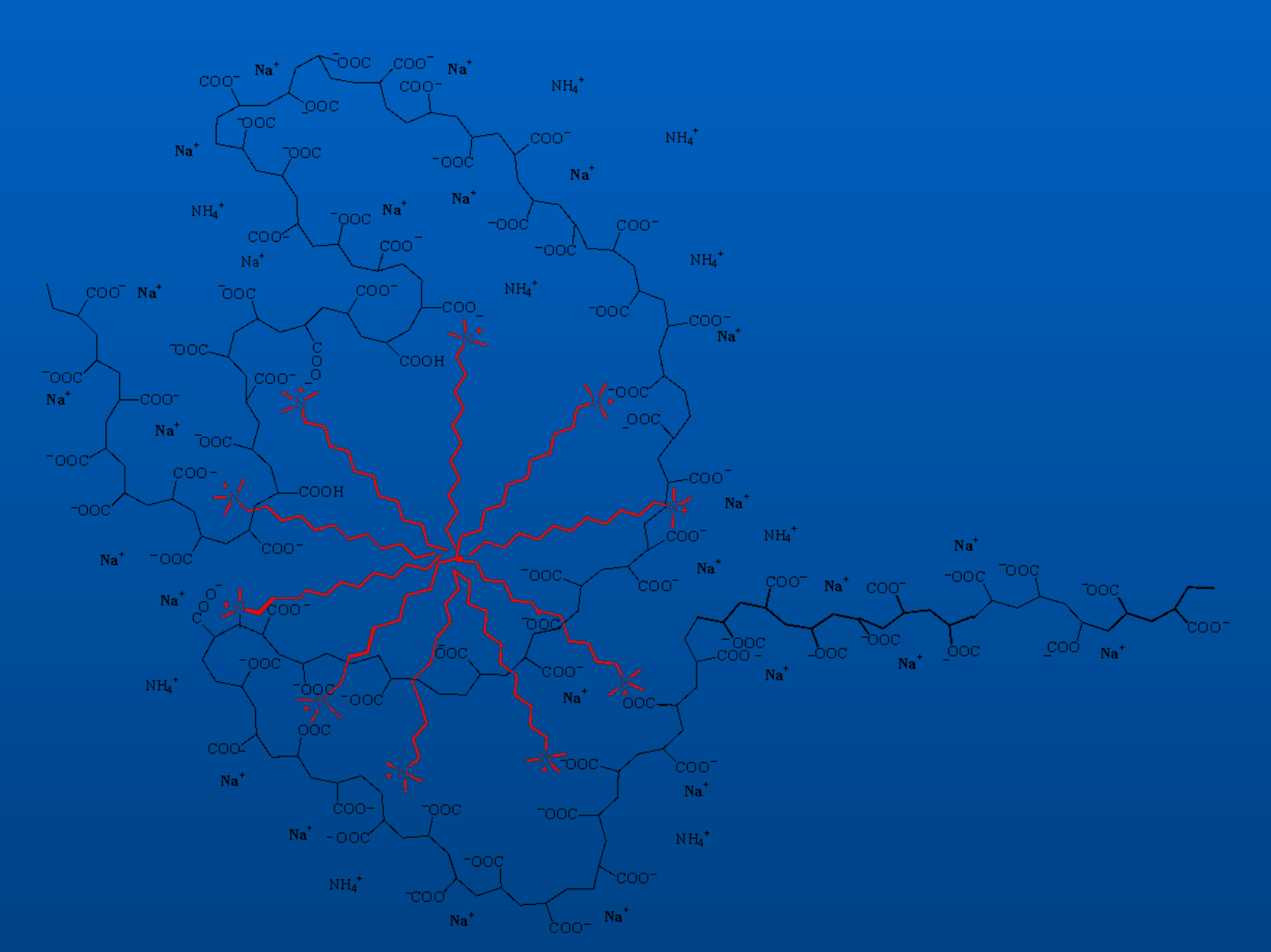
6 2 5 1 3 4 10 7 8 **Brij35-MEKC** pH 4.5

Электролит: 10 мМ Brij-35, ацетат натрия, уксусная кислота, рН 4.5

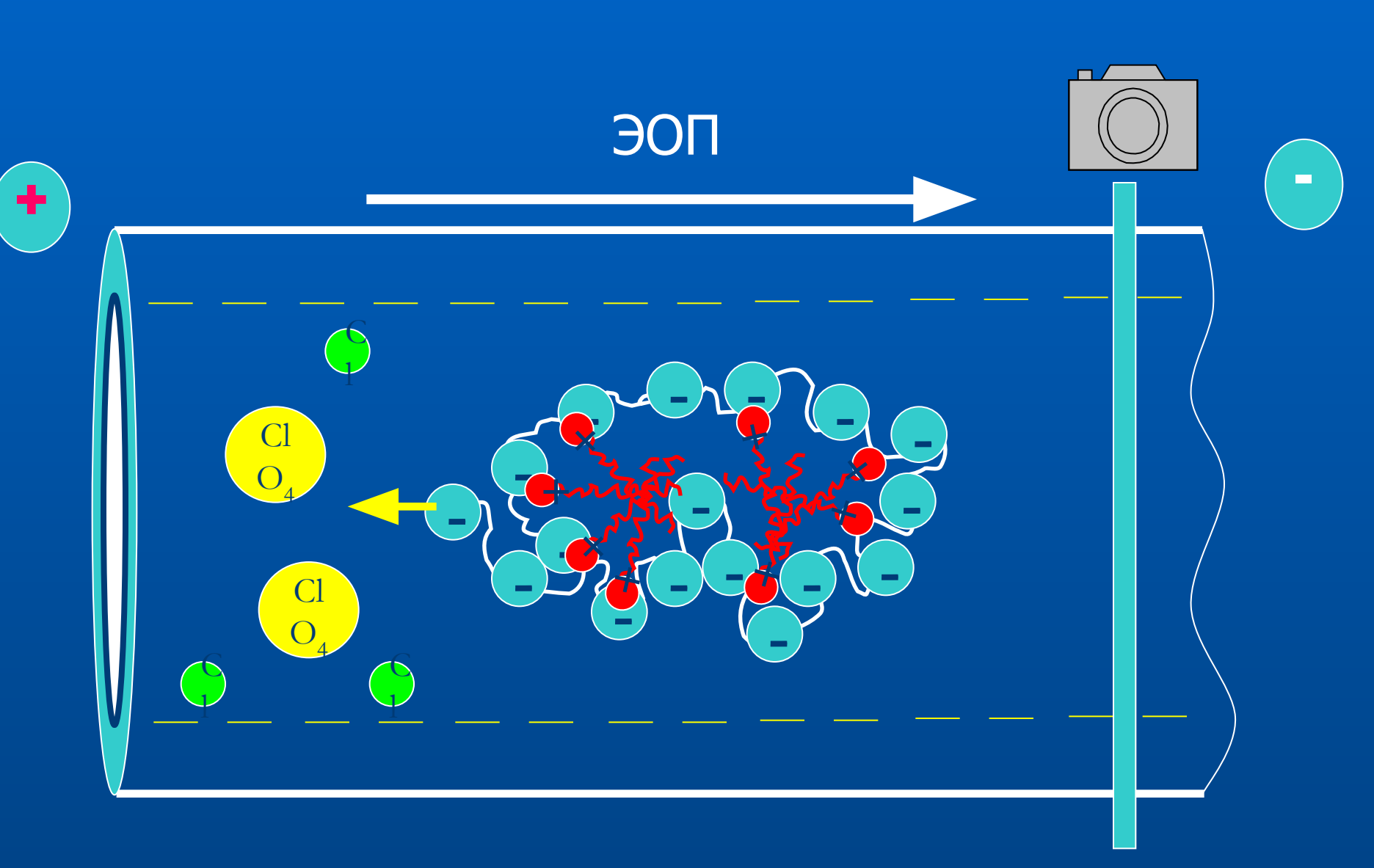
## Разделение смеси хинолинов методом МЕКС c SDS в качестве мицеллообразователя



## Строение водорастворимого полиэлектролитного комплекса



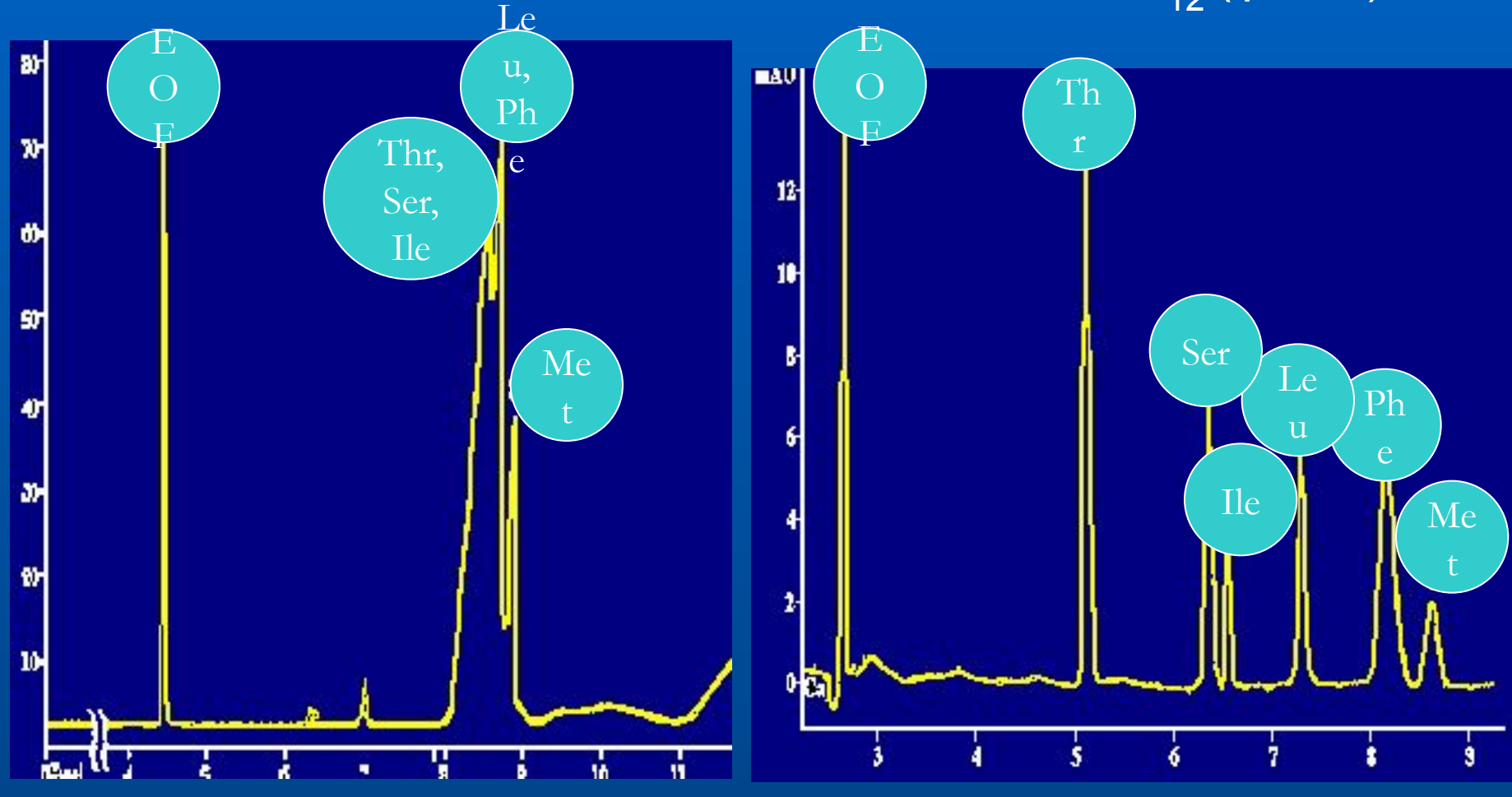
### Схема удерживания анионов в МЕКС



### Определение DNS-производных аминокислот

60 mM of PAA

60 mM of PAA /  $C_{12}$  ( $\phi$ =0.3)



Buffer: 10 mM NaH<sub>2</sub>PO<sub>4</sub>, pH 5.8.

Capillary: 50 cm (43 cm) \* 100 µm I.D. Voltage 15 kV. Detection: 214 nm.

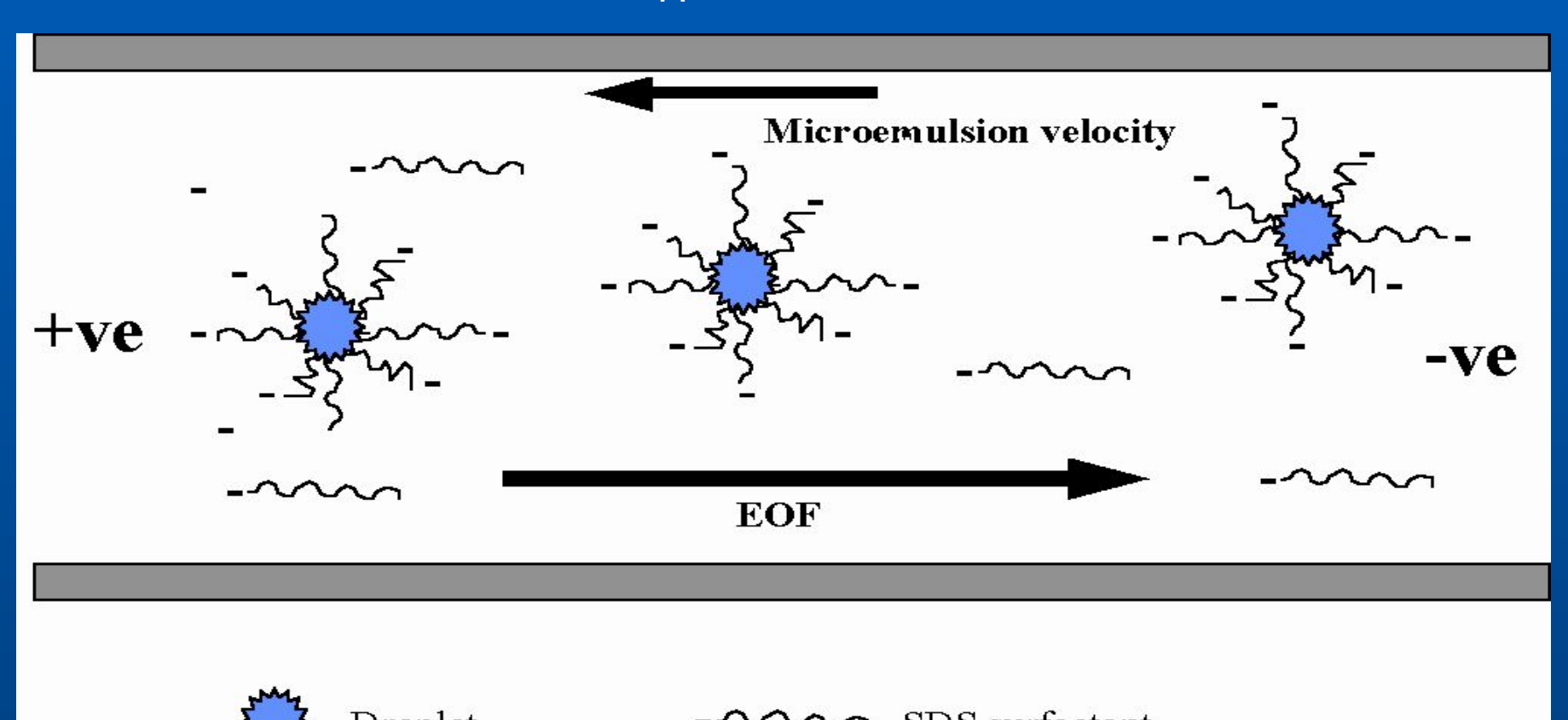
### Микроэмульсионная электрокинетическая хроматография

#### Принципы метода МЕЕКС

В капилляре создается устойчивая микроэмульсия несмешивающейся в водой жидкости (масло).

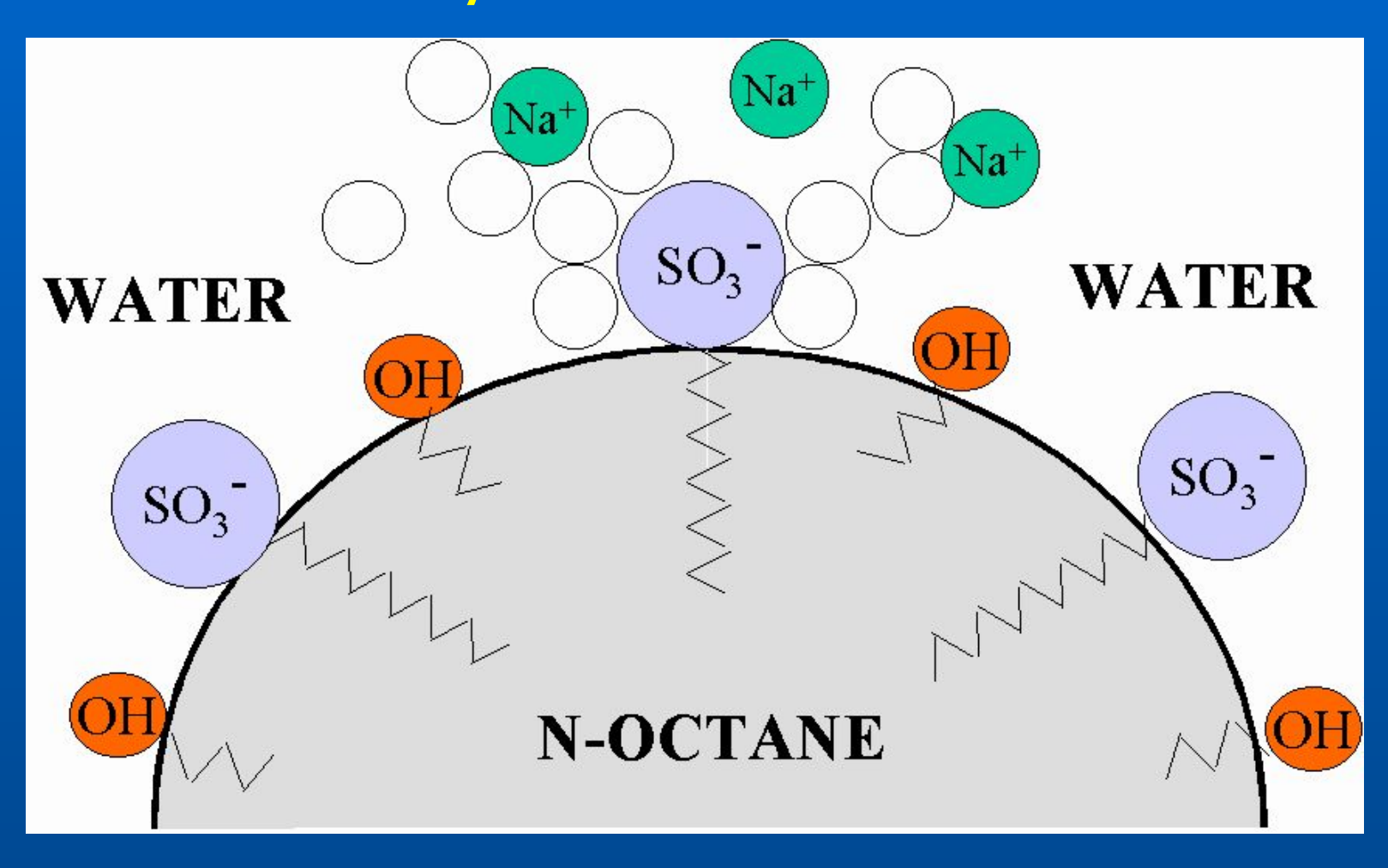
Вещества разделяются с соответствии с коэффициентами распределения в системе масло-вода.

Если они заряжены и не распределятся в масло, то двигаются в соответствии с их ионными подвижностями.





#### Эмульсия масло-вода



Необходимы: масло, раствор электролита в воде, ионогенное ПАВ, неионогенное ПАВ

### Хорошие начальные условия для МЕЕКС:

Капилляр: 50 мкм внутренний диаметр, 60 см длина

Электролит: 0.81 д октана,

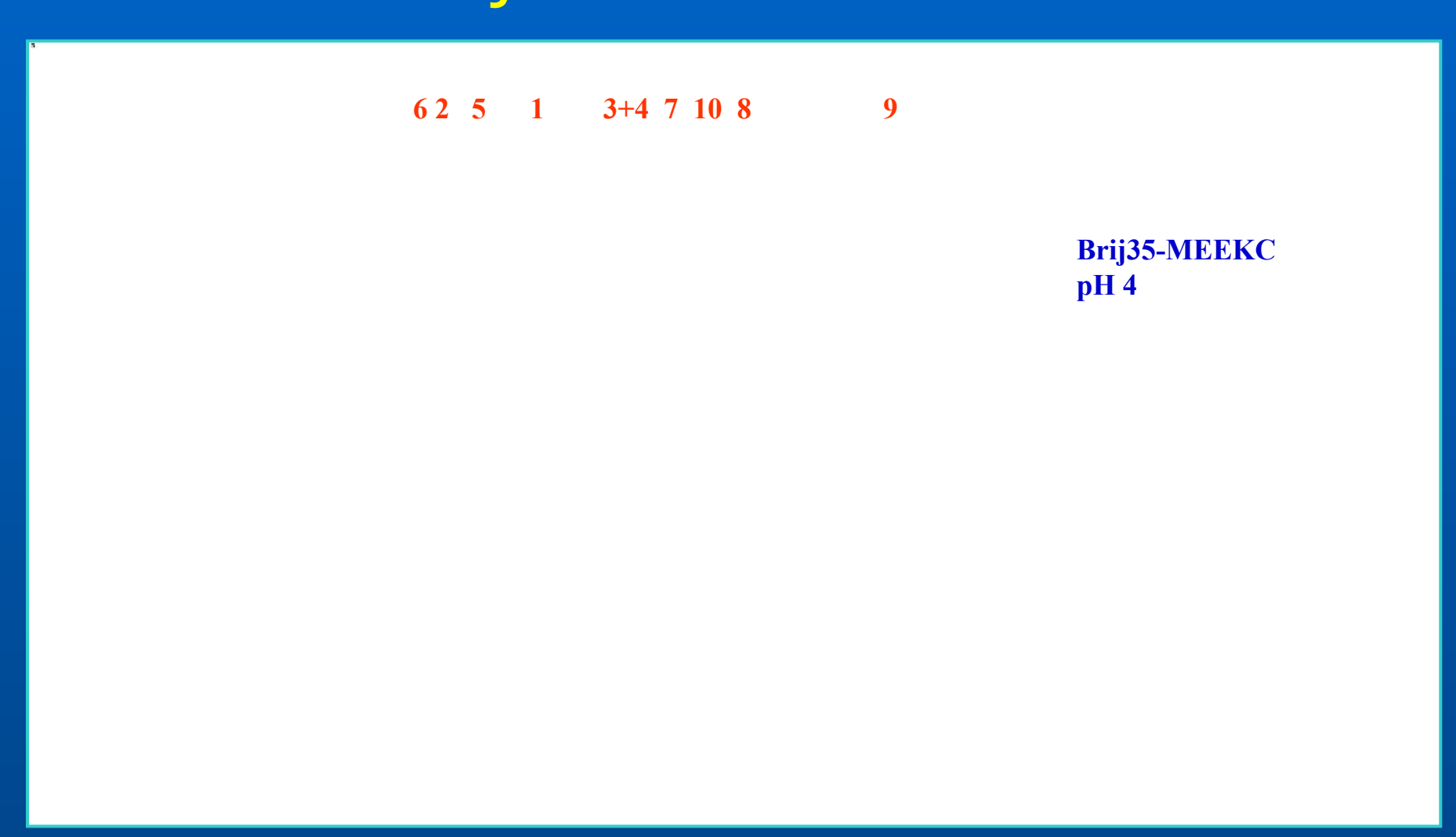
6.61 g н-бутанола,

3.31 g SDS,

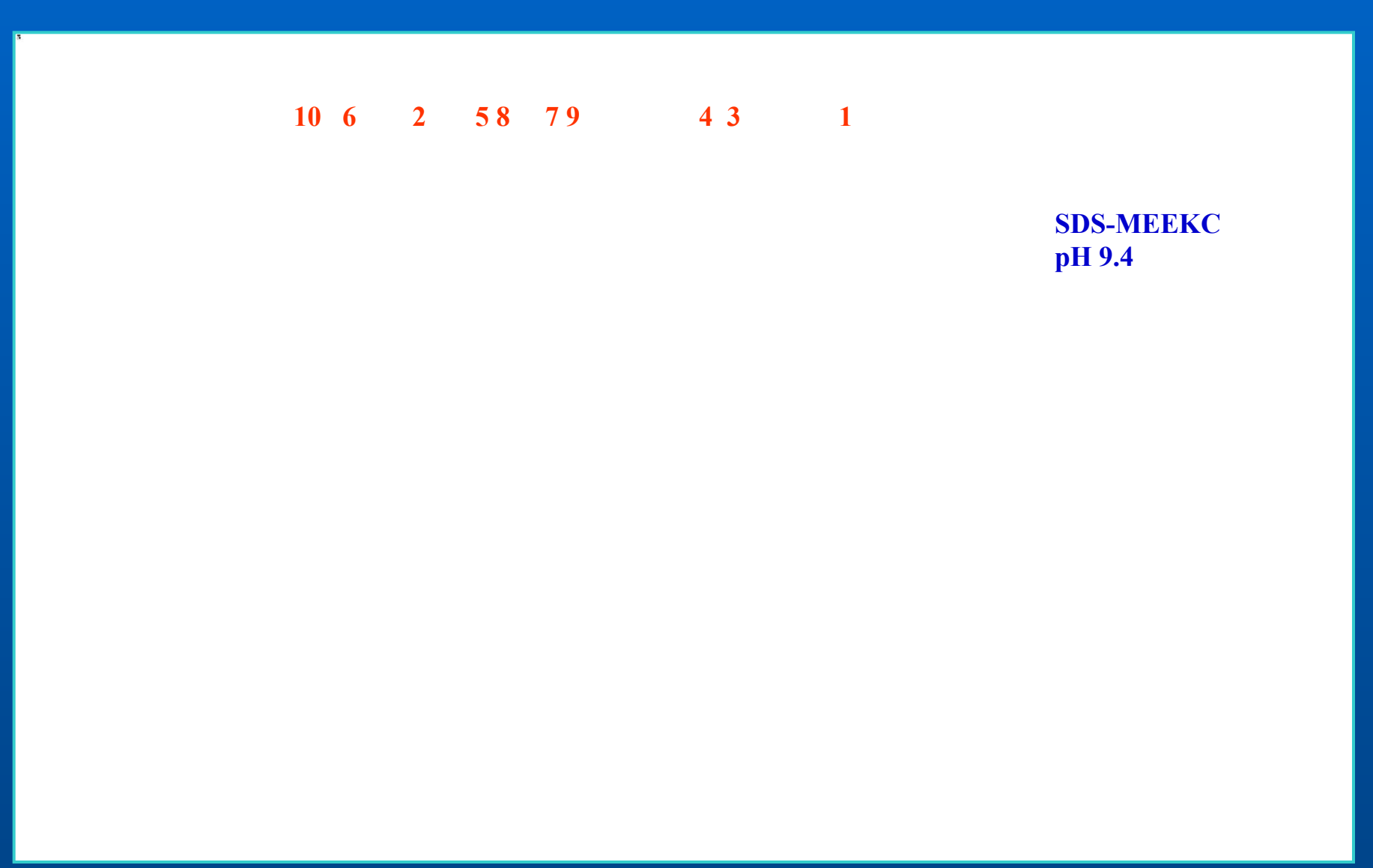
89.27 д тетрабората натрия (ультразвук)

Напряжение: + 20 kV

### Разделение смеси хинолинов методом МЕЕКС с Brij-35в качестве ПАВ



### Разделение смеси хинолинов методом МЕЕКС с SDS в качестве ПАВ



Электролит: 50 мМ борная кислота, рН 9.4 (NaOH), гептан, SDS, н-бутанол

### Капиллярный гель-электрофорез

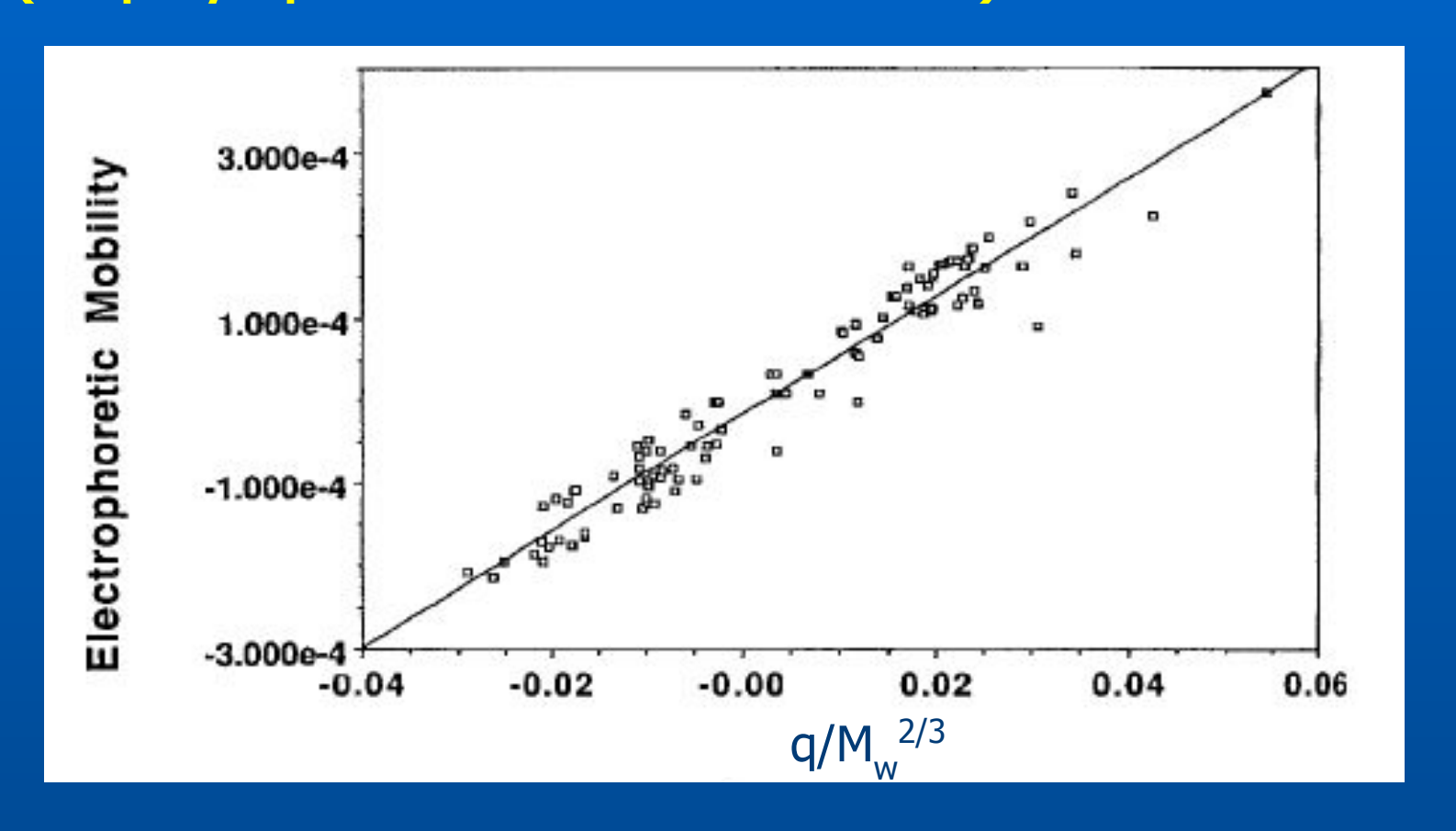
#### Особенности CGE

- Разделение основано на эксклюзии
- ЭОП подавлен или изменен
- Капилляры заполнены полимером
  - Линейный полиакриламид
  - Сшитые полимеры (3-х мерная структура)
  - Смеси полимеров
- Целесообразен для больших молекул с подобными соотношениями m/z
  - ДНК
  - Белки

#### Механизм CGE

- Разделяемые вещества движутся по капилляру в зависимости от собственной подвижности и способности проникать в гель.
  - Малые молекулы мигрируют первыми
  - Большие молекулы мигрируют последними
- рН буферного электролита
  - Необходимо ионизовать аналиты
  - Оставить поверхность капилляра незаряженной (нет ЭОП)

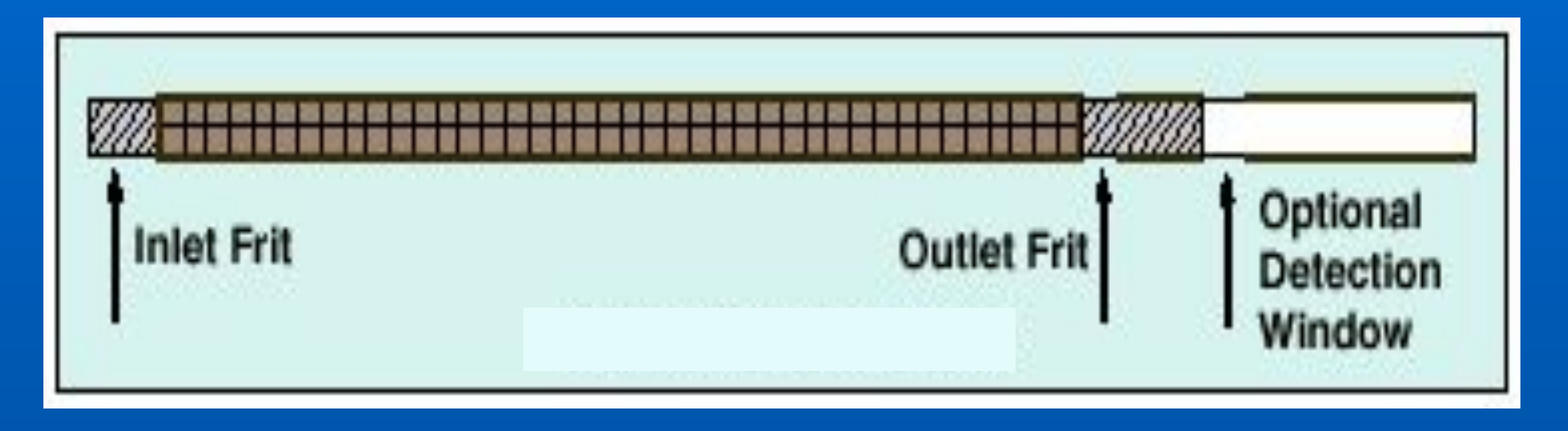
## Разделение пептидов (с флуоресцентной меткой) методом СGE





### Капиллярная электрохроматография в заполненных капиллярах

#### Принципы метода СЕС



### СЕС является гибридным методом

- Комбинация КЗЭ и ВЭЖХ
- Электрофоретическое движение подвижной фазы
- Неподвижные фазы от ВЭЖХ

#### Цели

- Получить селективность от ВЭЖХ (а ≠ 1)
- Получить эффективность от КЗЭ (N ~ 500 000)

### Профили потоков в µ-ВЭЖХ и СЕС

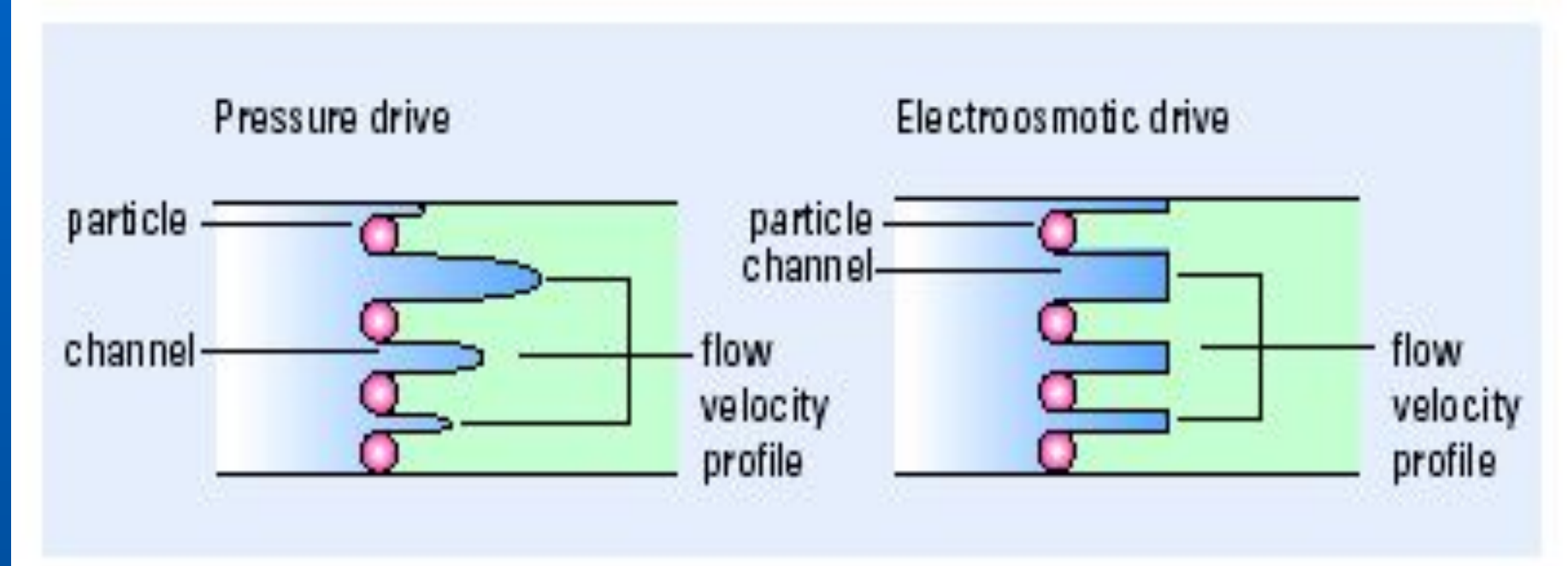


Figure 2.5: Depiction of the flow velocity profile in a packed bed in electro drive and pressure drive.

- Капилляры в СЕС могут быть:
  - Заполнены сферическим сорбентом
  - Монолитные

### Теоретические предпосылки о преимуществах СЕС

- Плоский профиль потока подвижной фазы
- Размер частиц сорбента
  - Нет ограничений по давлению
  - Используют частицы размером < 1.5 мкм
  - Экспрессность анализа
  - Большая поверхность приводит к коротким колонкам
- Хорошо стыкуется с MS (можно использовать большие концентрации орг. растворителей для управления селективностью)

### Теоретические предпосылки о преимуществах СЕС

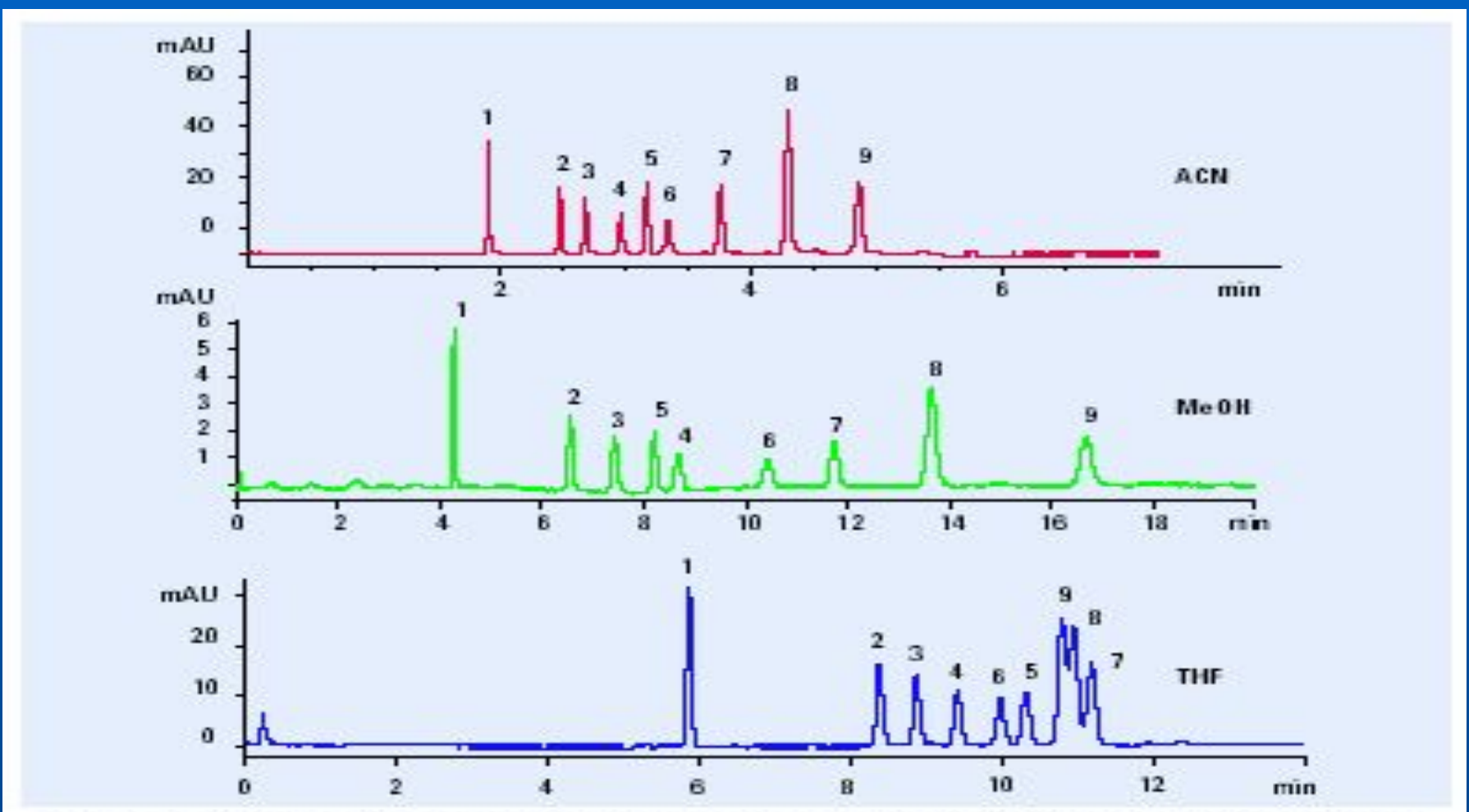
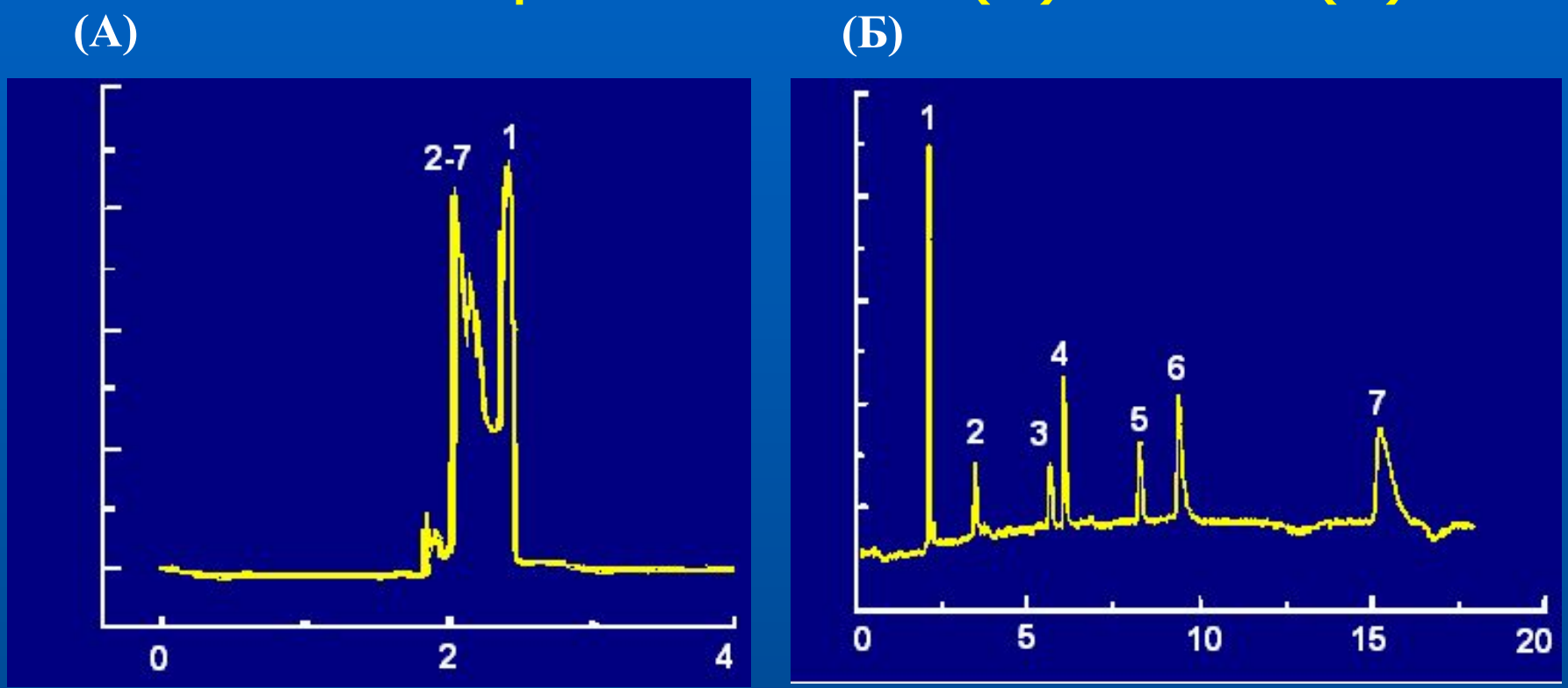


Figure 5.6: Separation of a neutral test mixture with various organic modifiers. Conditions: CEC Hypersil C8, 3 μm, 250(335) x 0.1 mm, 80/20 organic modifier/Tris. HCl, 50 mM, pH 8. 30 kV, 10 bar both sides, 20°C. Sample: 1 thiourea, 2 methylparabene, 3 ethylparabene, 4 propylparabene, 5 naphthalene, 6 butylparanybene 7 fluorene, 8 anthracene, 9 fluoranthene (with permission of J. Microcolumn Separations).

## Электрофореграммы ароматических кислот в вариантах КЗЭ (А) и СЕС (Б)



Mobile phase: 0.1% solution of 2,10-ionene ( $PO_4$ -form) - 1 mM  $KH_2PO_4 - 10\%$  acetonitrile, pH adjusted to 6.4 with TRIS.

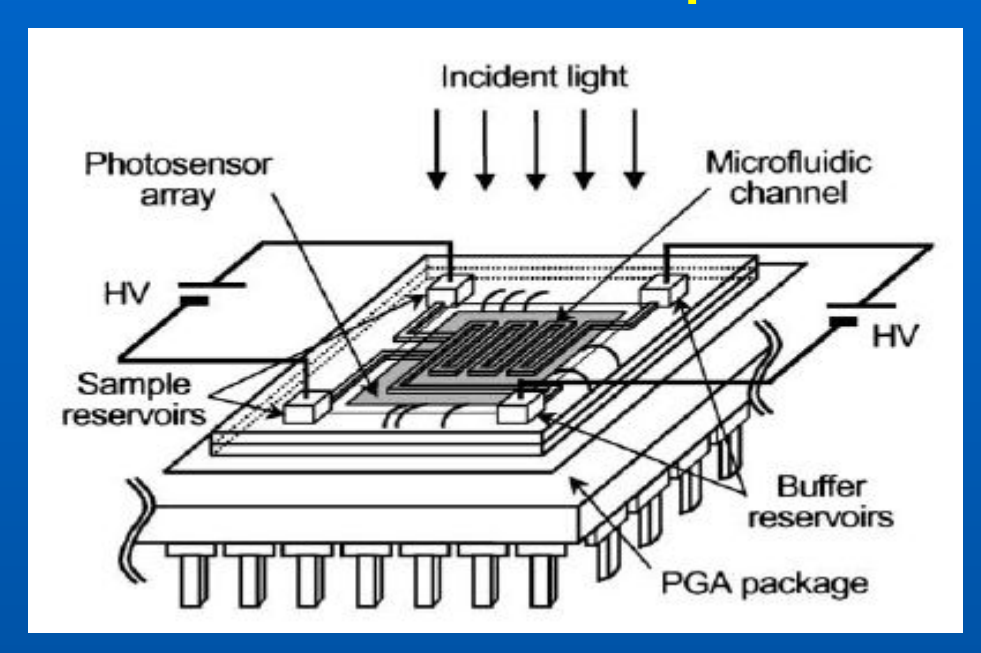
 $1 = \text{EOF (Acetone)}, \ 2 = p$ -hydroxybenzoic acid,  $3 = \text{salycilic acid}, \ 4 = \text{benzoic acid},$   $5 = \text{o-Br-benzoic acid}, \ 6 = p$ -aminosalycilic acid, 7 = p-aminobenzoic acid.

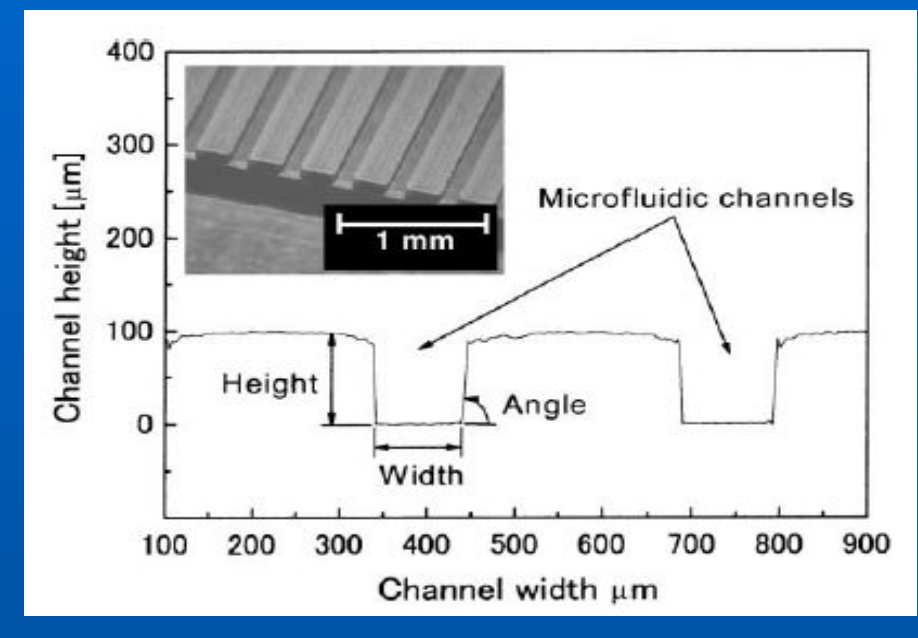
### Схема выбора метода электрофореза



### Электрофорез на микрочипе

#### Схема производства микрочипа





#### Стекло

- Первый использованный материал
- Отработана технология травления
- Хрупкость и отсутствие хим. инертности

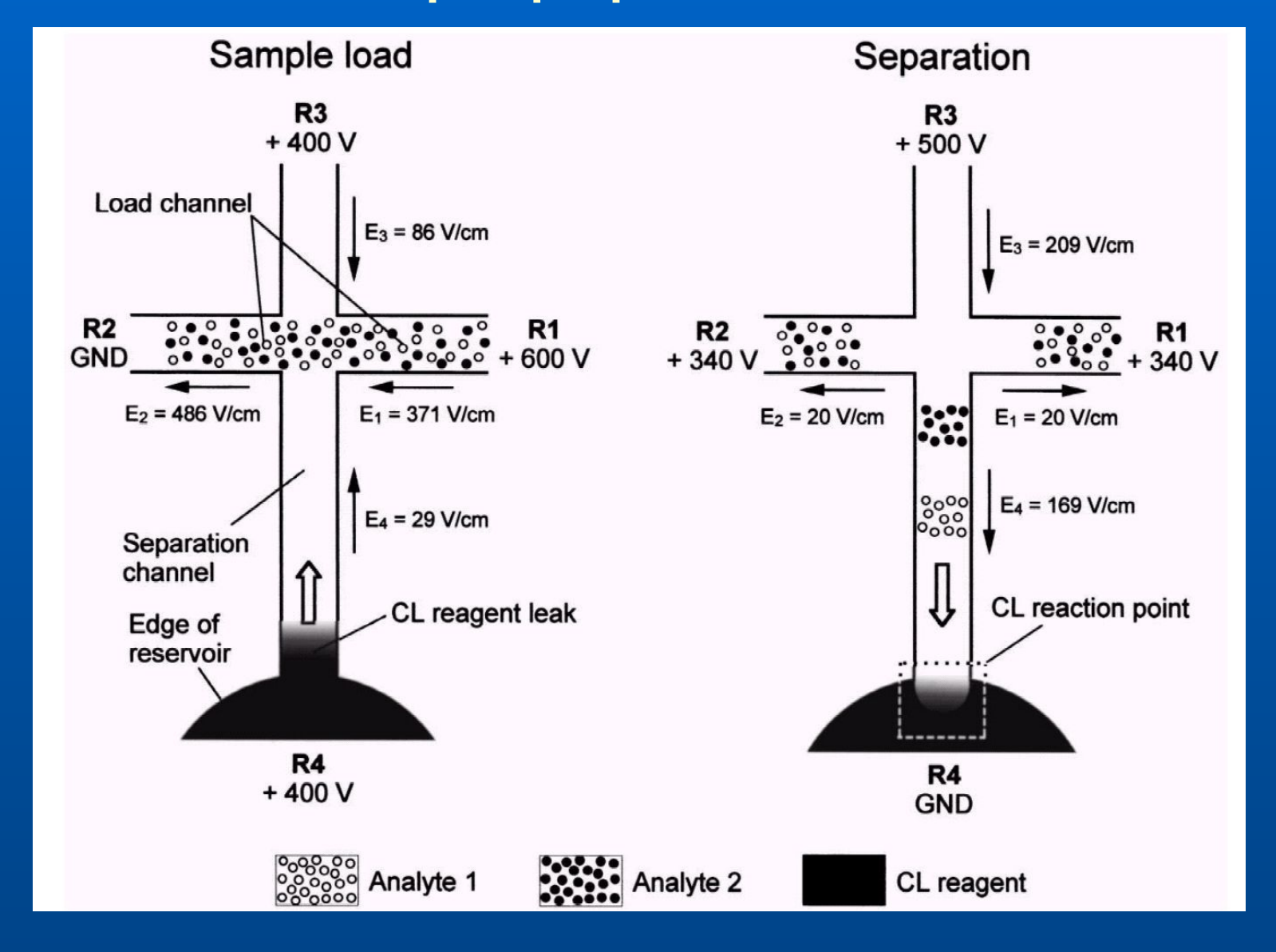
#### Полимеры

- Менее дороги, гибки
- Большие возможности варьирования состава
- Сложности с контролем ЭОП

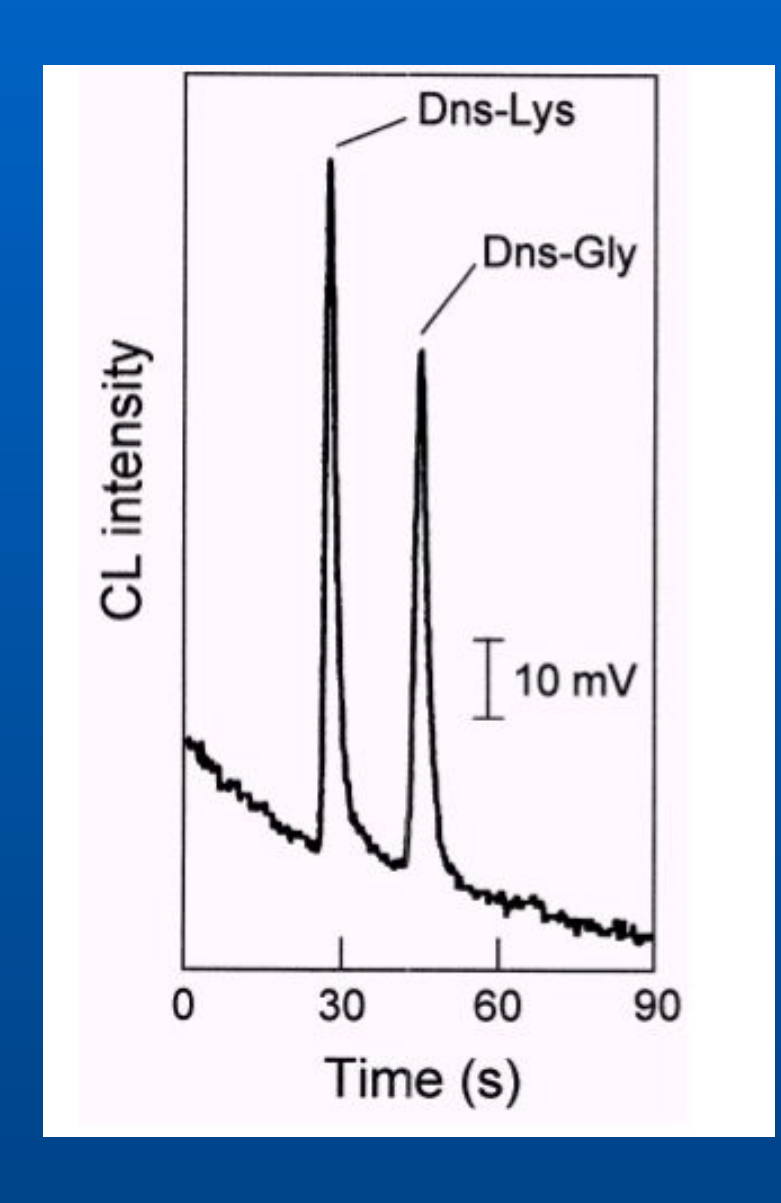
#### Кварц

- Отработана технология травления
- Достаточно дорог
- Плохо «сваривается» с полимерными материалами

### Электрофорез на чипе



### Типичная электрофореграмма



- Приложенное напряжение 400 B
- Размеры капилляра
  20x50 µм
- Путь разделения
  18-25 мм
- Напряженность поля ~200 В/см

Эффективность (TT) На капилляр - 500-1000 На метр - 40 000

### Типичная структура капилляра «песочные часы»



- Длина пути «до разделения» 9 µм
- Напряженность поля 100 кВ/см
- Скорость переноса 1.3 м/сек
- Время анализа 20 µсек
- Приложенное напряжение 20 кВ

## Устройство для оттягивания микропипеток

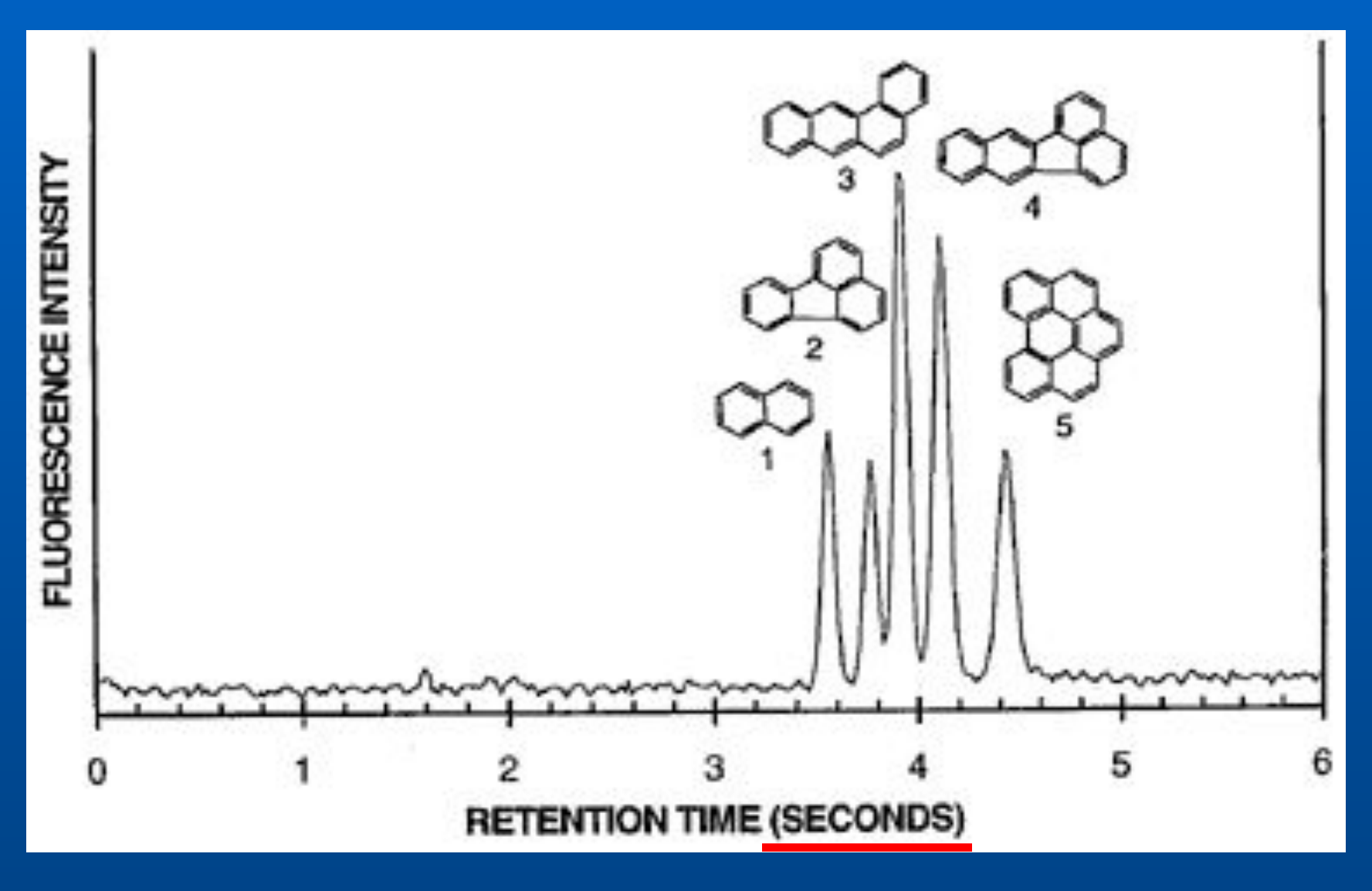


#### Контролируются

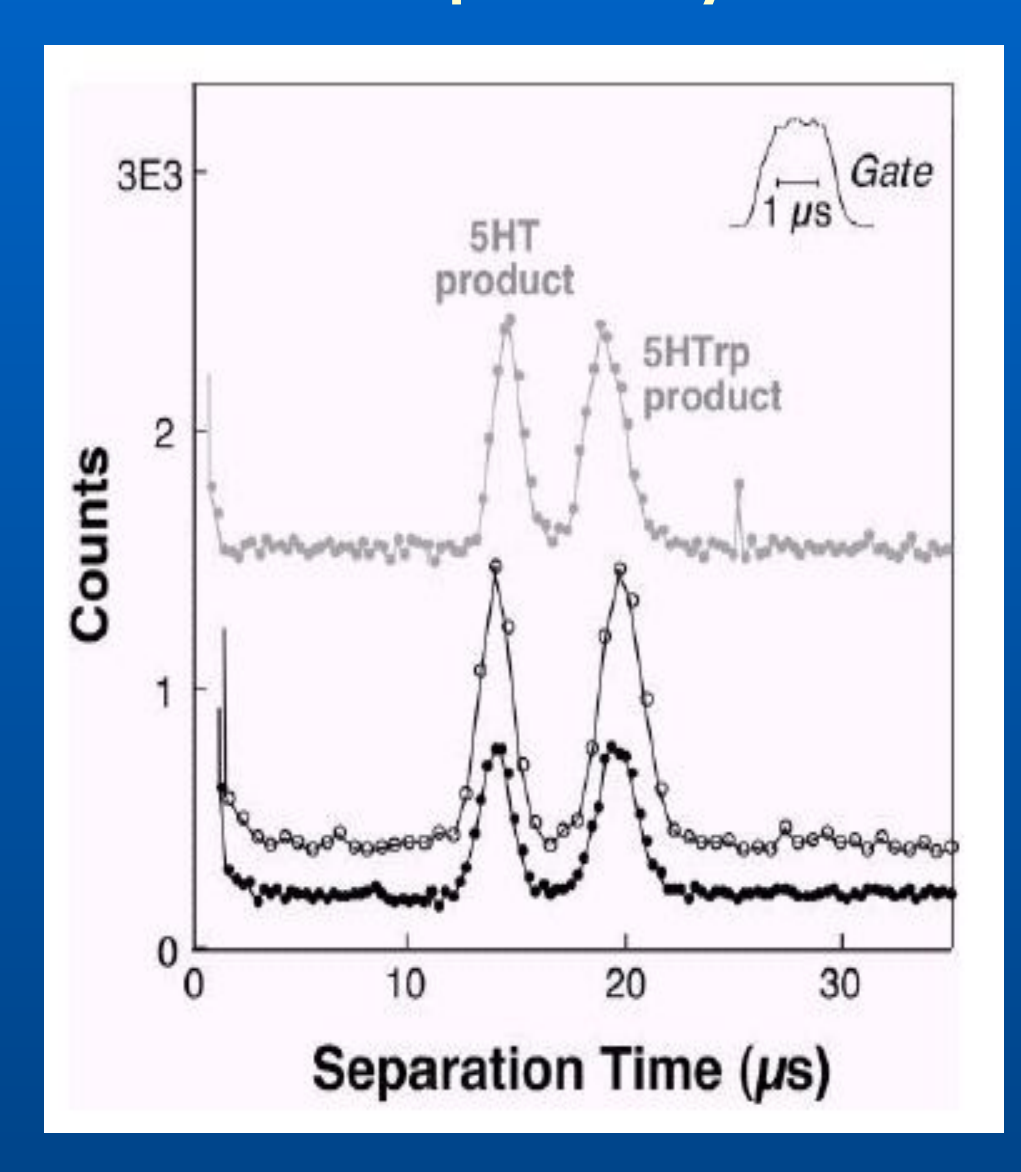
- Температура
- Скорость нагрева
- Зона нагрева
- Величина растягивания
- Получаемый диаметр (до 0.1 мкм)
- Подача газа
- Влажность

10 встроенных программ

## Основное преимущество микрочипового электрофореза - экспрессность



### Микросекундное разделение



Эффективность (TT) На капилляр - 120-150 На метр - 12 000 000



Стоимость оборудования / цена чипа Воспроизводимость Материал чипа

Нет необходимости использовать при анализе обычных веществ

## Приборы для капиллярного электрофореза

### Agilent 3D



#### Капель 103-105

